

Les processus de corrosion à haute température

C. Petitjean¹, P. Berthod, S. Mathieu, P.J. Panteix¹, C. Rapin¹, P. Steinmetz, M. Vilasi¹, R. Podor²

¹Université de Lorraine

Institut Jean Lamour – UMR7198, Dépt CP2S: Equipe 206, Nancy, France

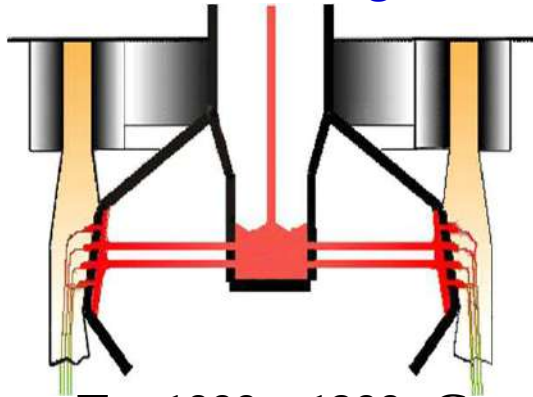
²Institut de Chimie Séparative de Marcoule

ICSM - MR5257, CEA/CNRS/UM2/ENSCM

Contexte : corrosion par les verres fondus

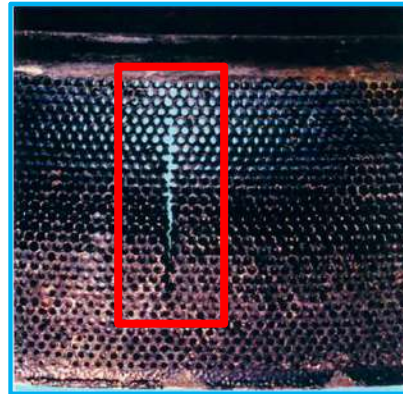
Aspects applicatifs

Fibrage du verre



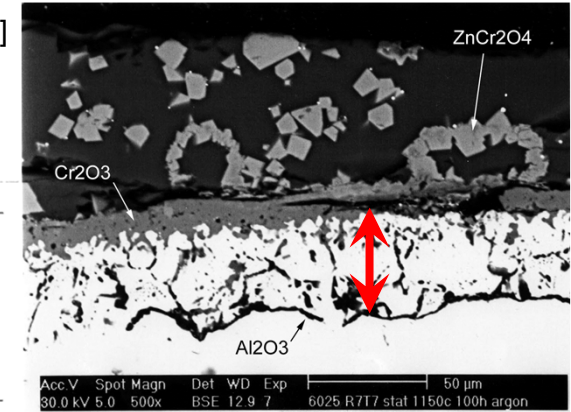
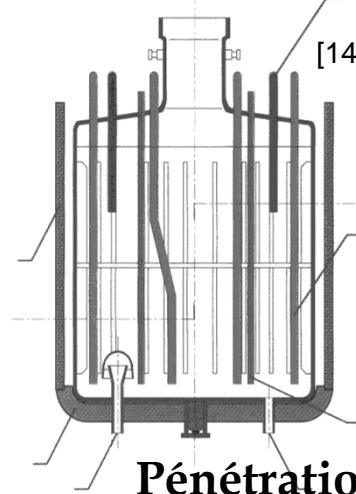
T ~ 1000 - 1200 °C

Rotation ~ 2000 rpm



[15]

Vitrification des déchets nucléaires



Pénétration du verre dans l'alliage

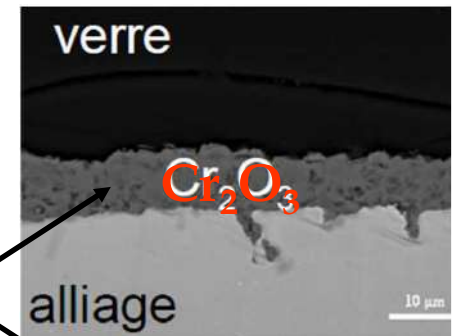
➔ Corrosion des superalliages en conditions sévères

Propriétés des matériaux:

Meilleure tenue au fluage, à l'oxydation et à la corrosion par les gaz et les milieux fondus

Superalliages base Ni avec Al, Cr

Air HT corrosion
Protection par une couche d'oxyde



[7]

Contexte : corrosion par les verres fondus

Aspects fondamentaux

A. Aspects thermodynamiques de la corrosion

=> prévision de la réactivité chimique

- ✓ Réaction d'oxydo-réduction à haute température

=> formation potentielle d'une couche d'oxyde protectrice

- ✓ Réaction acido-basique

=> dissolution potentielle de la couche d'oxyde

B. Aspects cinétiques de la corrosion

=> détermination des vitesses de réaction

- ✓ Vitesse d'oxydation par les gaz

=> Compétition formation - "Desquamation" et/ou vaporisation

- ✓ Vitesse d'oxydation électrochimique en milieu liquide

=> Compétition formation - dissolution

A. et B. : Modèle prédictif de la durée de vie

Plan de la présentation

- Comportement des alliages métalliques dans les environnements gazeux à Haute Température

Aspects thermodynamique et cinétique de l'oxydation "sèche"

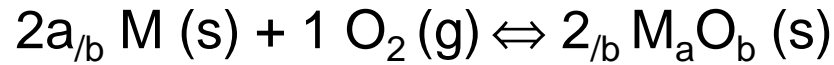
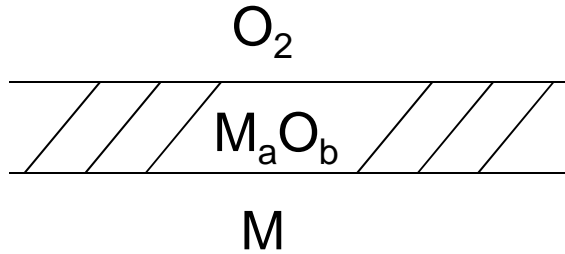
- Comportement des alliages métalliques dans les silicates fondus

Dissolution – précipitation
Oxydation électrochimique

➤ Comportement des alliages métalliques dans les environnements gazeux à Haute Température

Aspects thermodynamique et cinétique de l'oxydation "sèche"

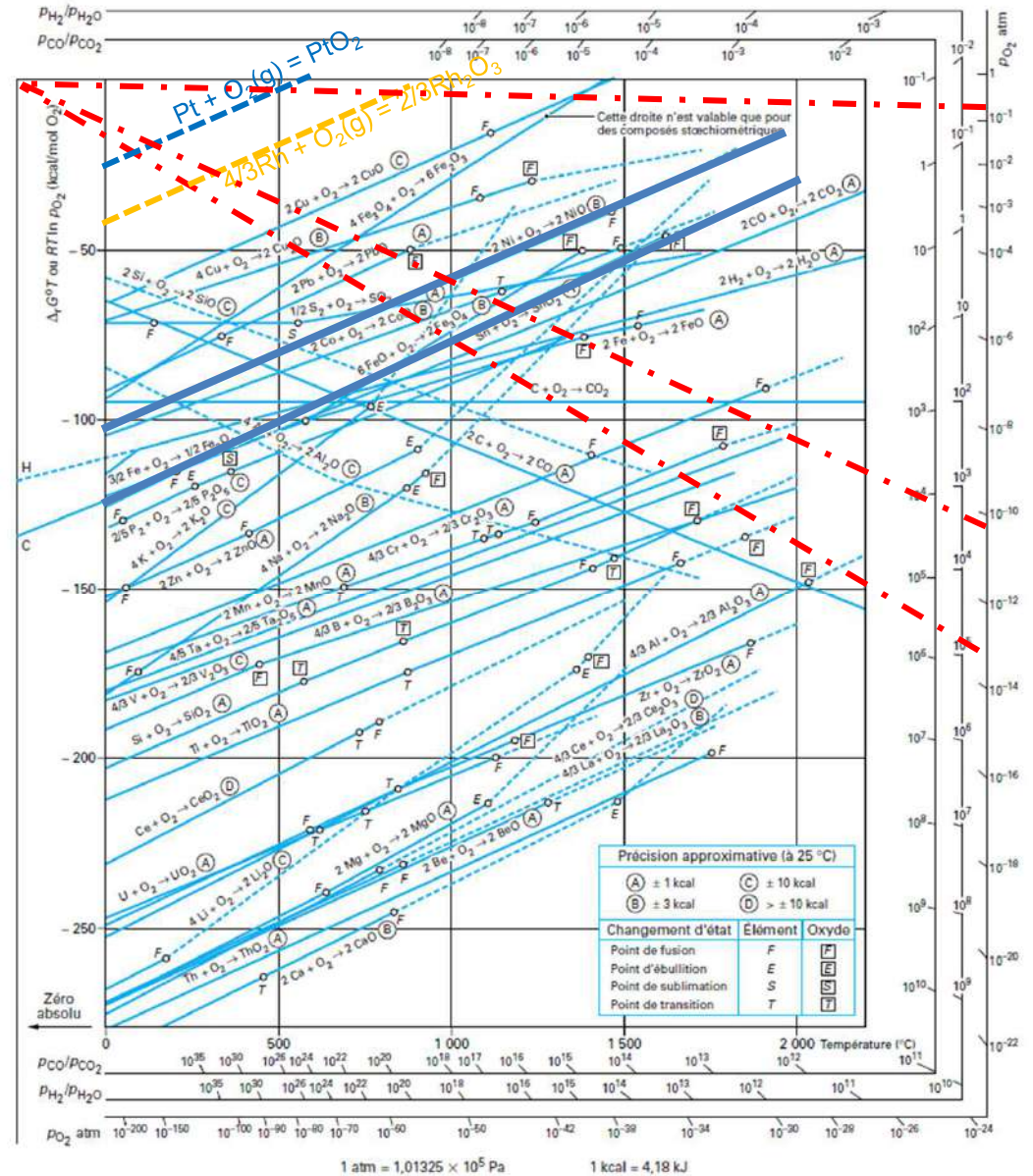
➤ Approche Thermodynamique



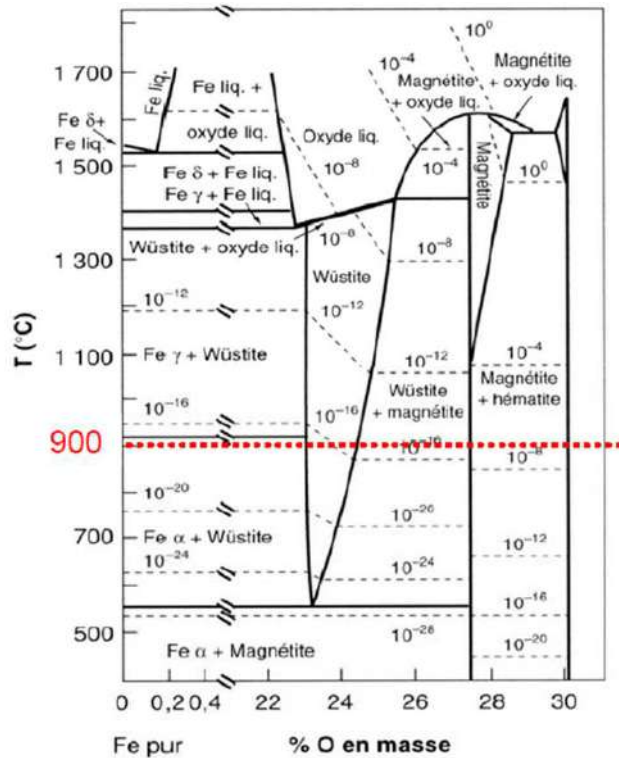
— $\Delta G^\circ_T = \Delta H^\circ_T - T\Delta S^\circ_T$

⋯ $\Delta G^\circ_T = RT \ln P_{O_2}$

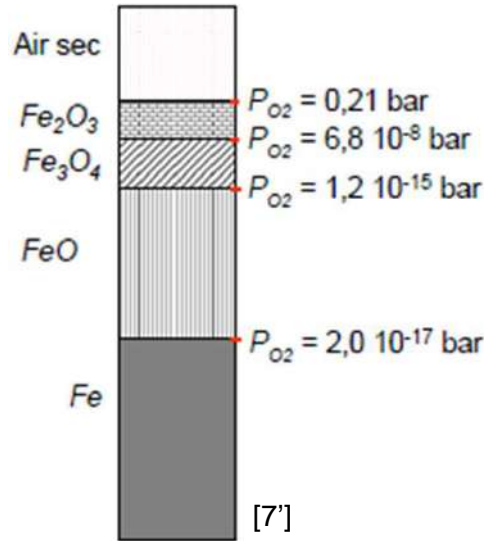
[3]



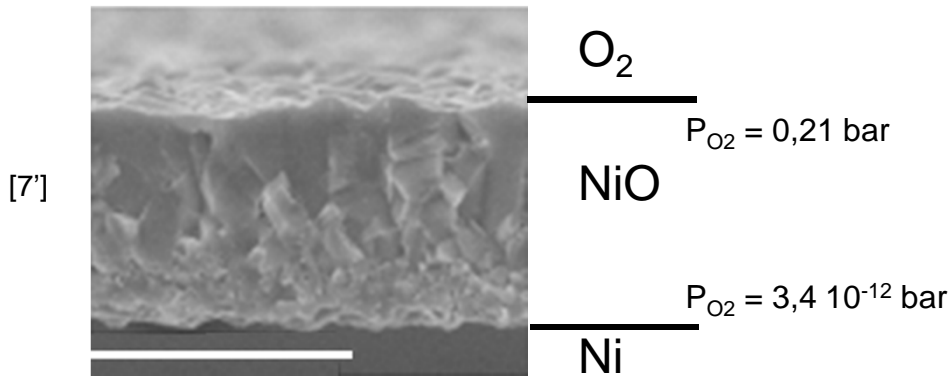
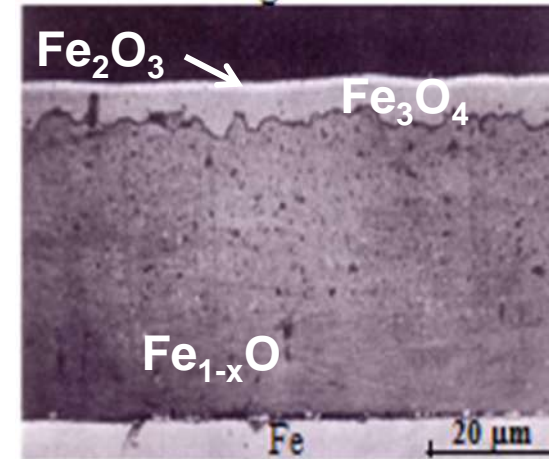
➤ Oxydation des métaux purs



Fe - FeO - Fe₃O₄ - Fe₂O₃
 T = 900 °C P_{air} = 1 bar

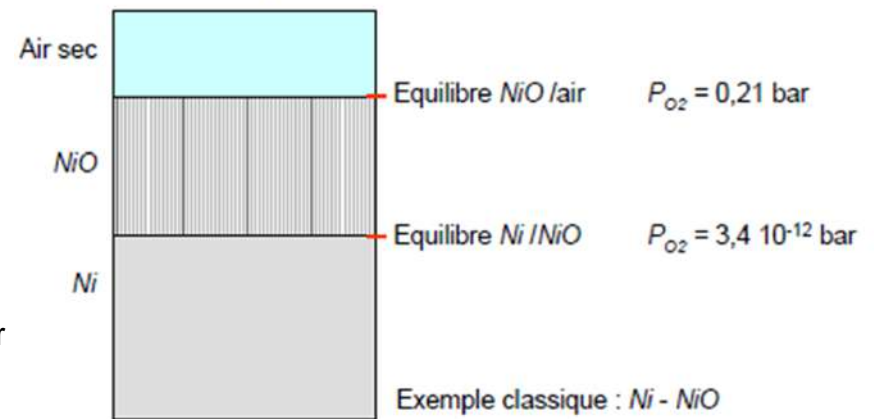


✓ Oxydation 100H à 700°C sous Air



✓ Oxydation 15H à 800°C sous O₂

T = 900 °C P_{air} = 1 bar



➤ Mécanisme d'oxydation à Haute Température

Les oxydes « protecteurs » sont des composés ioniques non stoechiométriques

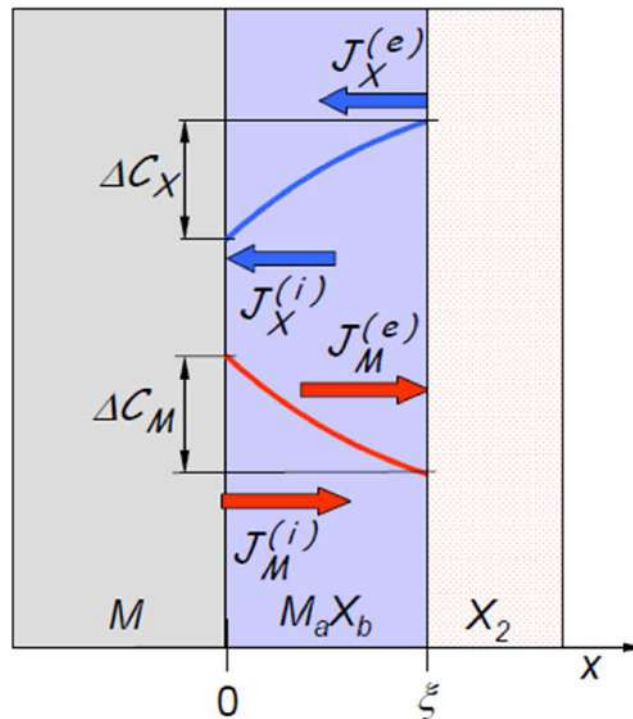
✓ Mécanisme de croissance [7]

2. Diffusion au sein de MO

- Contrôle par le défaut prépondérant

3. Interface MO/ Métal

- Oxydation du métal et transfert dans MO
- Création/annihilation des défauts

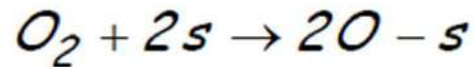


1. Interface gaz/MO

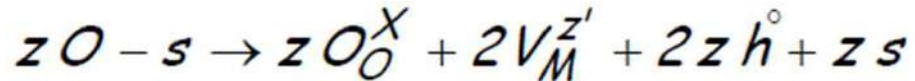
- Adsorption
- Transfert de l'oxydant du gaz à la couche d'oxydation
- Création/annihilation des défauts

✓ Exemple : Cas de NiO

- 1 : Réactions à l'interface externe



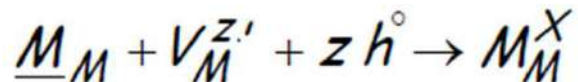
(Chimie sorption dissociative)



-2 : Diffusion au sein de la couche d'oxyde

Généralement contrôlée par un défaut majoritaire

- 3 : Réactions à l'interface interne

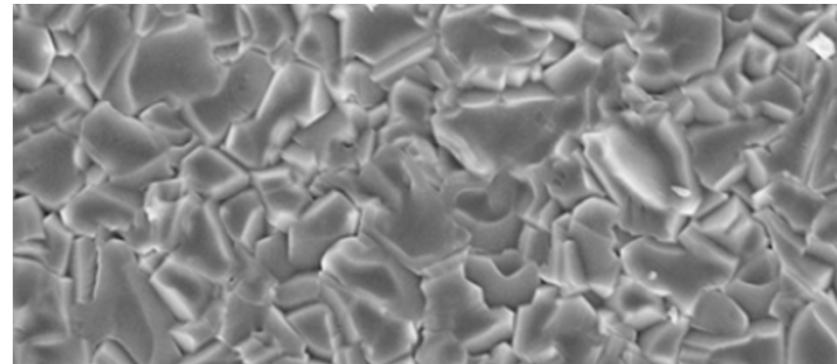


(Semi-conducteur de type p)

[7]

- La morphologie et la microstructure des couches d'oxyde sont peu influencées par la microstructure du métal sous-jacent.

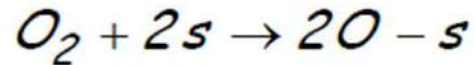
=> Il n'y a plus de trace de l'état de surface initial



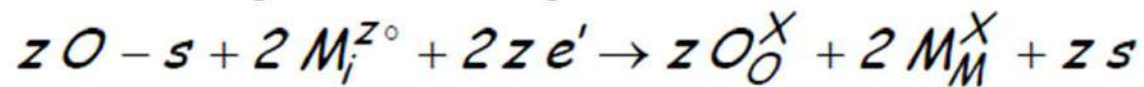
Ni pur oxydé 1H à 1100°C (P_{O2}= 1bar)

✓ Exemple : Cas de Cr_2O_3

- 1 : Réactions à l'interface externe



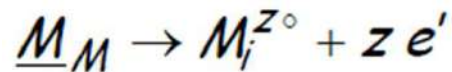
(Chimie sorption dissociative)



- 2 : Diffusion au sein de la couche d'oxyde

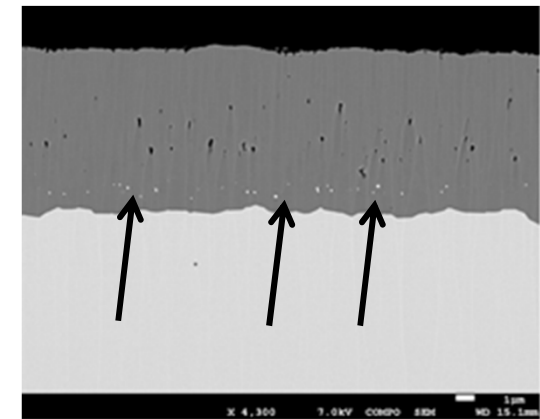
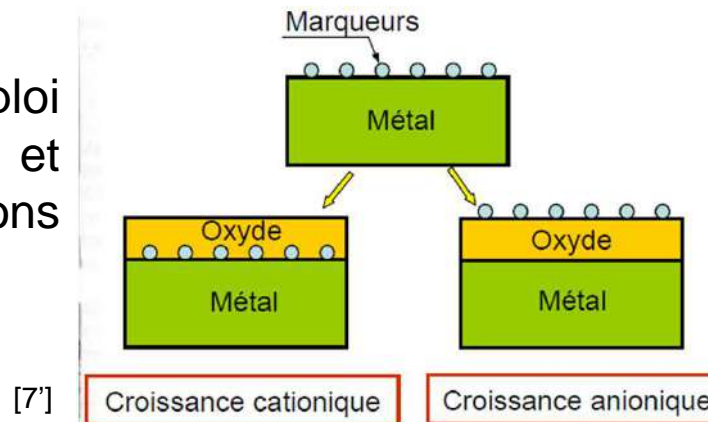
Généralement contrôlé par un défaut majoritaire

- 3 : Réactions à l'interface interne



(Semi-conducteur de type n)

- Mise en évidence : emploi de marqueurs inertes et caractérisation de sections métallographiques

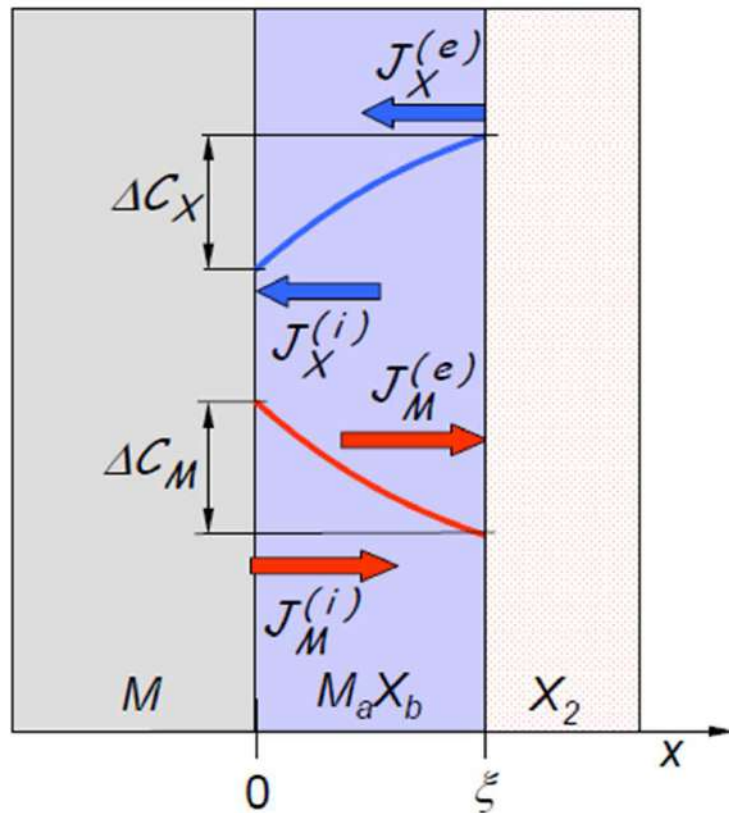


Ni30Cr oxydé 9H sous $P_{\text{O}_2} = 2,8 \cdot 10^{-13}$ atm
E. Schmucker - IJL 2015

➤ Cinétique d'oxydation Haute Température

✓ Modèle de Wagner simplifié

- Couche de MX compacte et adhérente
- Interfaces M/MX et MX/X_2 à l'équilibre
- Croissance contrôlée par la diffusion au travers de la couche
- Etat quasi-stationnaire : $J_j^{(e)} = J_j^{(i)}$ ($j = M, X$)



ξ : épaisseur de la couche (cm)

t : temps (s)

k_p' : constante parabolique de vitesse ($\text{cm}^2 \cdot \text{s}^{-1}$)

$$J_j = -\tilde{D}_j \frac{\Delta C_j}{\xi} \quad (j = M, X)$$

$$\frac{d\xi}{dt} = \Omega_{M_aX_b} (aJ_M^{(e)} + bJ_X^{(i)})$$

$$\frac{d\xi}{dt} = \Omega_{M_aX_b} \frac{a|\tilde{D}_M \Delta C_M| + b|\tilde{D}_X \Delta C_X|}{\xi}$$

➤ Cinétique d'oxydation Haute Température

$$\frac{d\xi}{dt} = \Omega_{M_a X_b} \frac{a|\tilde{D}_M \Delta C_M| + b|\tilde{D}_X \Delta C_X|}{\xi}$$

Cationique MAJ.

Anionique MAJ.

$$\frac{d\xi}{dt} = \Omega_{M_a X_b} \frac{a|\tilde{D}_M \Delta C_M|}{\xi} = \frac{k'_p}{2\xi}$$

$$\frac{d\xi}{dt} = \Omega_{M_a X_b} \frac{b|\tilde{D}_X \Delta C_X|}{\xi} = \frac{k'_p}{2\xi}$$

$$k'_p = 2a\Omega_{M_a X_b} |\Delta C_M| \tilde{D}_M = k\tilde{D}_M$$

$$k'_p = 2b\Omega_{M_a X_b} |\Delta C_X| \tilde{D}_X = k\tilde{D}_X$$

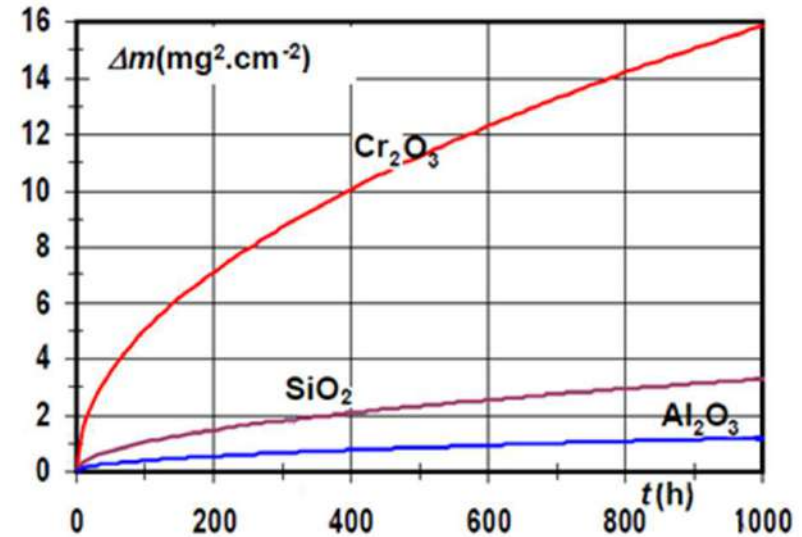
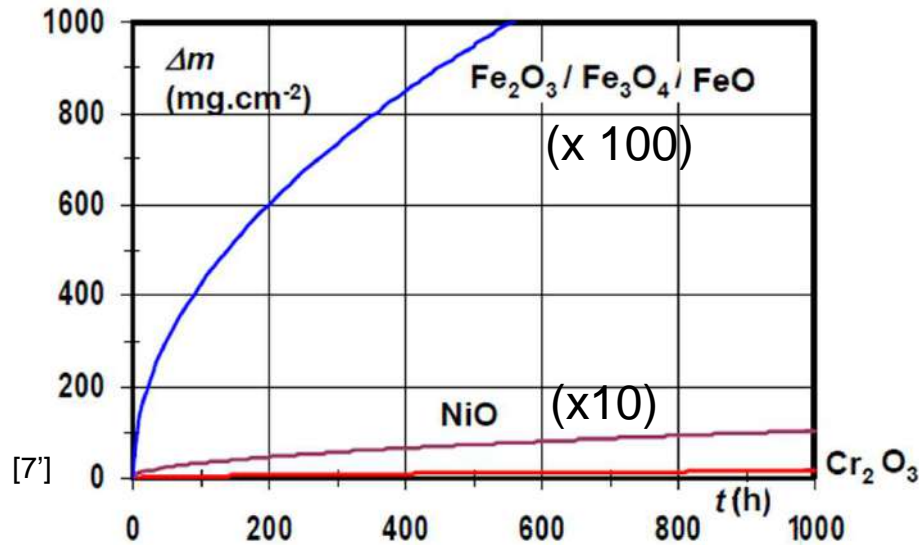
Variation
de masse
in-situ

$$\frac{d\Delta m}{dt} = \frac{k_p}{2\Delta m} \quad \leftarrow \quad k_p = \frac{M_X^2}{\Omega_{MX}^2} k'_p$$

Mesure
d'épaisseur
ex-situ

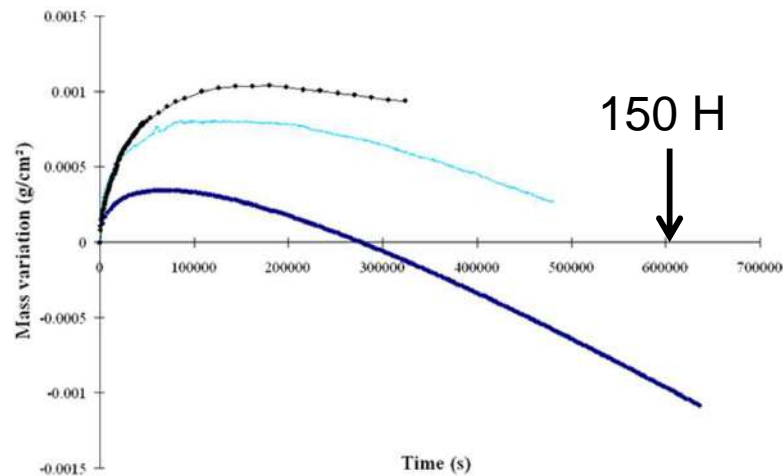
➤ Cinétique d'oxydation Haute Température

➤ Oxydation à l'air à 1000°C



[7']

➤ Oxydation à l'air à T=1300°C



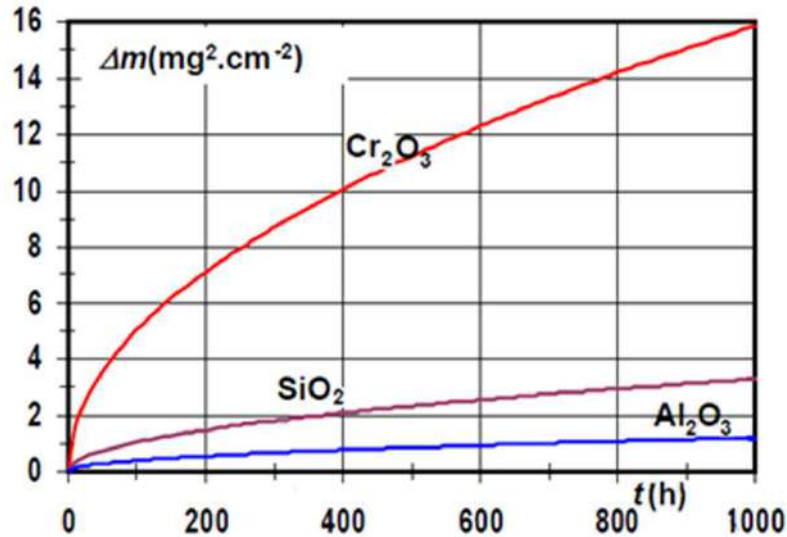
[14, 18]

$$\frac{d \frac{\Delta m_{oxide}}{S}}{dt} = \frac{k'_p}{\frac{\Delta m_{oxide}}{S}} - k'_l$$

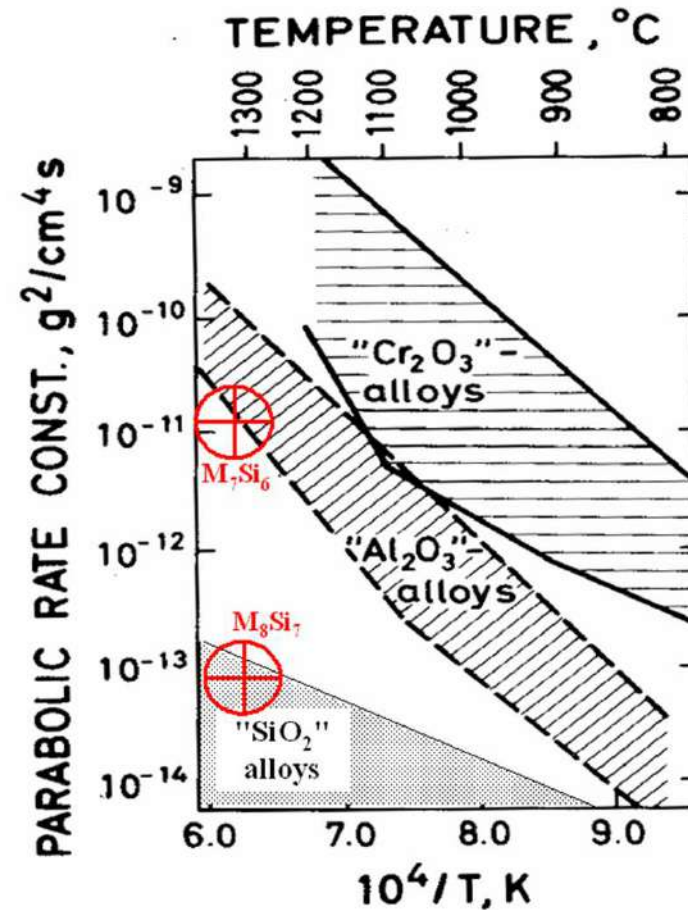
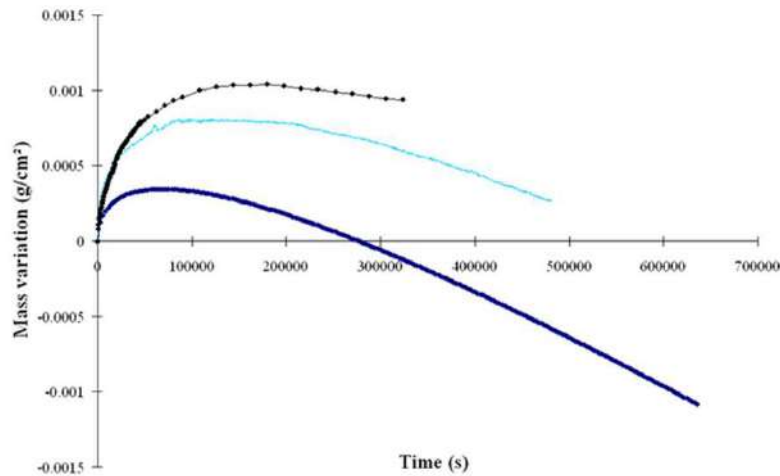
Formation de Cr_2O_3
 ↓
 k'_p
 ↑
 k'_l
 Vaporisation de CrO_3

➤ Cinétique d'oxydation Haute Température

➤ Oxydation à l'air à 1000°C

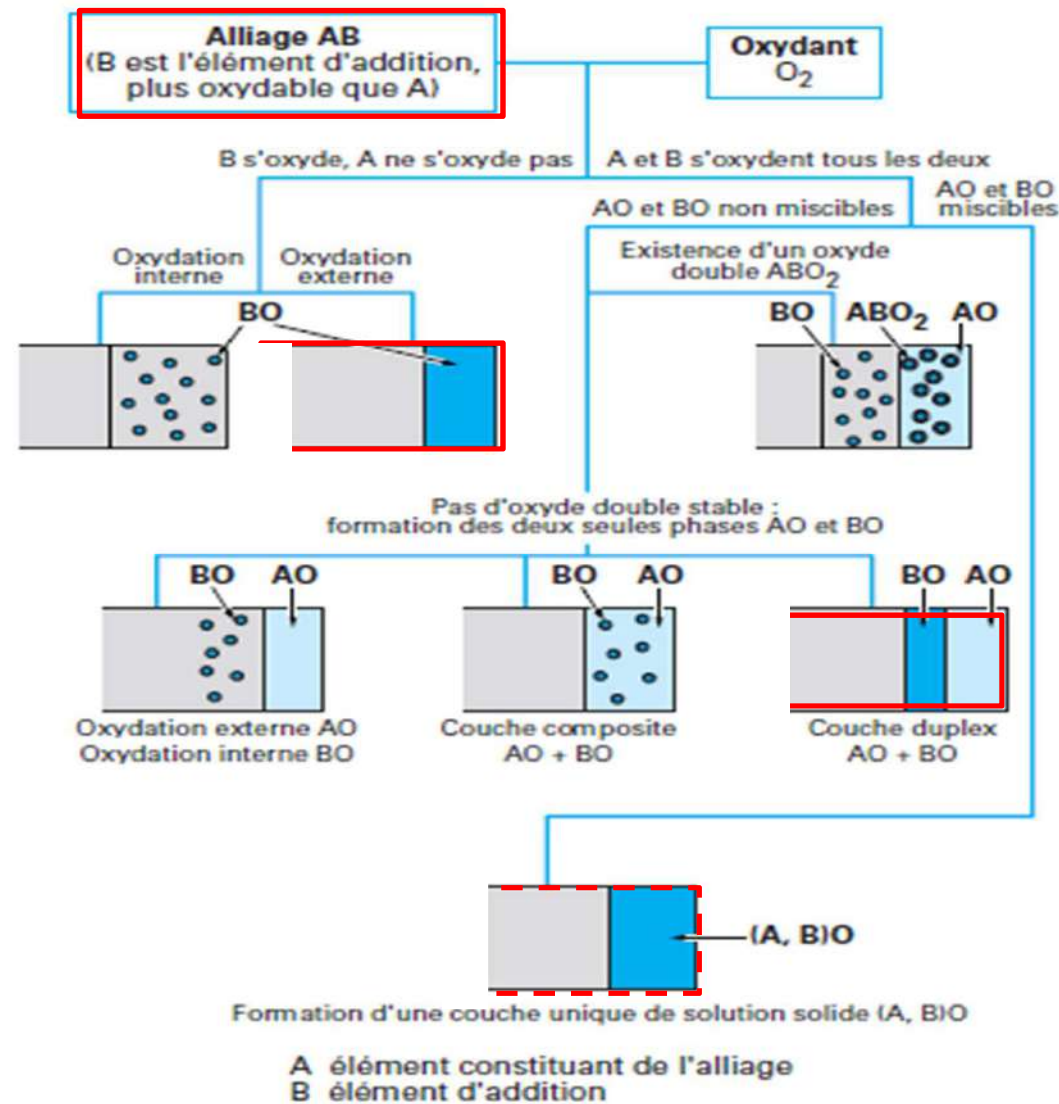


➤ Oxydation à l'air à T=1300°C



*Hindam, Whittle *Oxidation of Metals* **18**, 5-6 (1982)

Morphologie et microstructure des couches d'oxyde

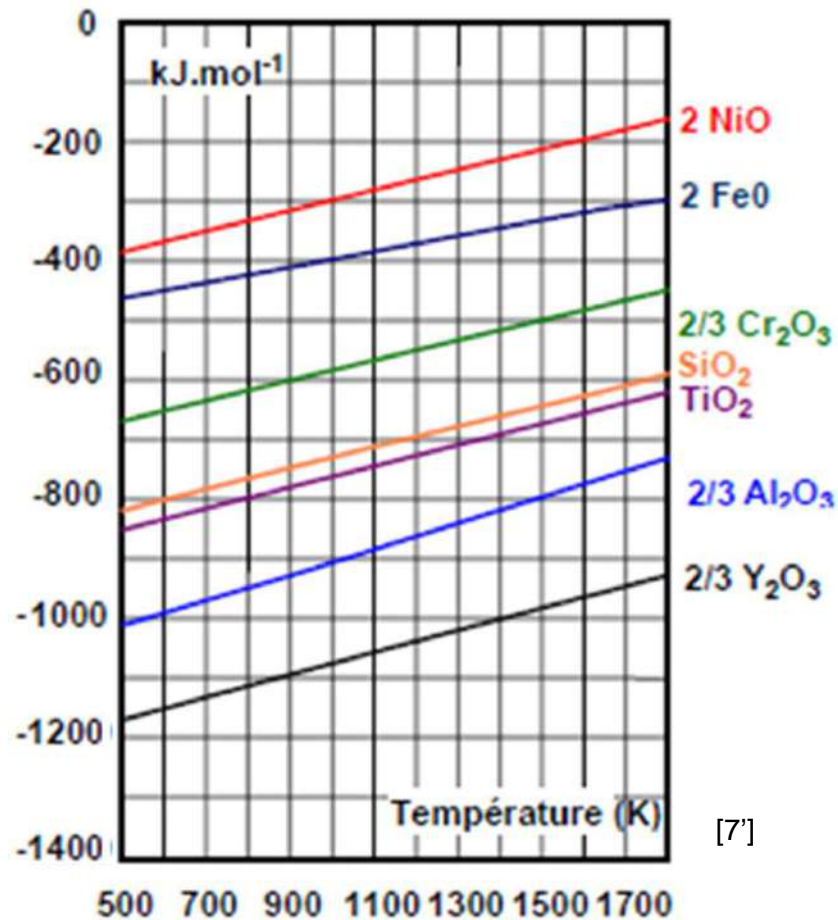


[3]

Morphologie et microstructure des couches d'oxyde

Possible Utilisation à H.T.

- Oxydation sélective de B : Thermodynamique



[7]

Les seuls éléments pouvant être utilisés dans des alliages industriels pour induire la formation de couches d'oxyde stables et protectrices à haute température sont *Al*, *Ti*, *Si* et *Cr*.

Si : parfois néfaste du point de vue des caractéristiques mécaniques.
Ti : problème lié à la dissolution de l'oxygène dans les alliages de Ti.
Non-protection de TiO_2 .

Deux familles d'alliages métalliques résistants à l'oxydation :

- alumino-formeurs,
- chromino-formeurs

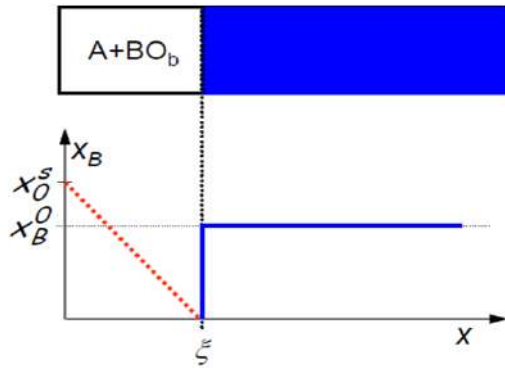
[7]

Morphologie et microstructure des couches d'oxyde

Possible Utilisation à H.T.

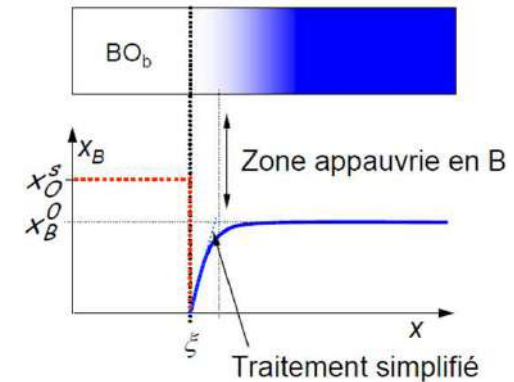
- Formation d'une couche externe de BO_b : modèle de Wagner [8]

Oxydation *INTERNE*



$$\xi_{int}^2 = 2D_O \frac{\Omega_{all} X_O^s}{b \Omega_{ox} X_B^0} t$$

Oxydation *EXTERNE*



$$\xi_{ext}^2 = 4D_B t$$

Transition

Teneur critique de l'élément B

$$\gamma = \frac{\xi_{ext}}{\xi_{int}} > 1$$

$$\left(2b \frac{D_B \Omega_{ox} X_B^0}{D_O \Omega_{all} X_O^s} \right)^{1/2} > 1$$

$$\left(\frac{D_O X_O^s}{\Omega_{ox}} \right)$$

Perméabilité à O_2 de l'alliage

Possible Utilisation à H.T.

- Caractère protecteur

[3]

1. Faible écart à la stoechiométrie et faible valeur de $D_{\text{défaut}}$: Al_2O_3 , Cr_2O_3 , SiO_2

Expl : $D_o^{\text{vol}}/D_{Cr}^{\text{vol}} = 10^{-6}$

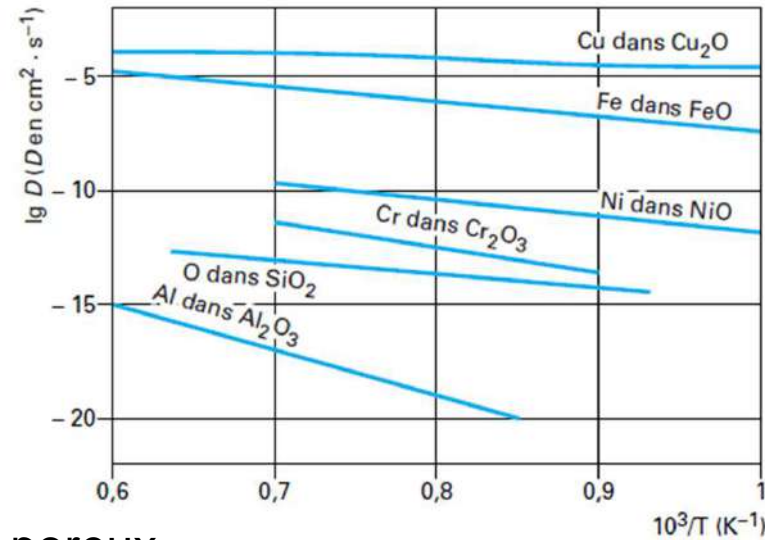
2. Paramètres microstructuraux à considérer :

$$D_x^{\text{vol}} < D_x^{\text{disloc}} < D_x^{\text{jdg}} < D_x^{\text{surf}}$$

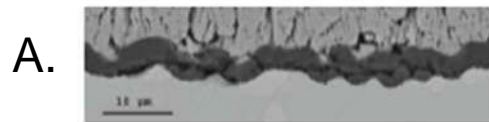
=> Rapport de Pilling et Bedworth :

$$PBR = \frac{V_{\text{MaOb}}}{aV_M}$$

- PBR < 1 : oxyde non couvrant, poreux
- 1 < PBR < 1,5 : oxyde couvrant et compact Al_2O_3
- PBR > 1,5 : « oxyde devient fissuré et poreux » (sens de croissance)



3. Effet du 3^{ème} élément : oxydabilité intermédiaire entre A_{matrice} et $B_{\text{élém.alliag.}}$

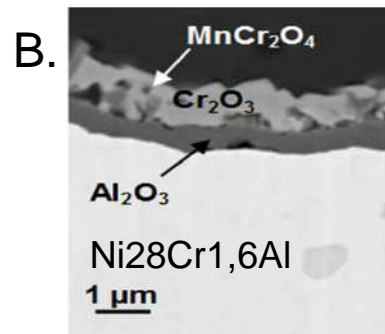


[7]

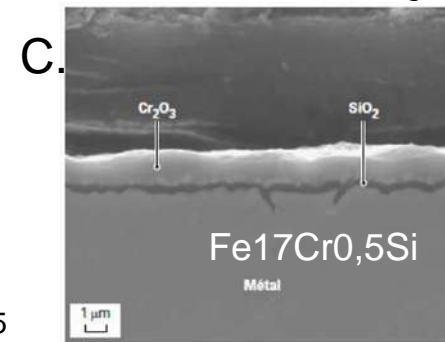
Ni(15-25)Al



Ni5Al25Cr(X,Z,...)



IJL 2015



[3]

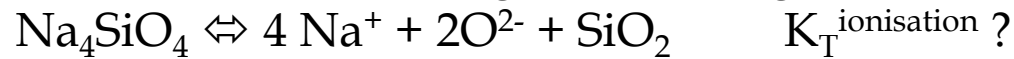
Partie externe : Cr₂O₃ Partie interne : SiO₂

➤ Comportement des alliages métalliques dans les silicates fondus

Dissolution – précipitation
Oxydation électrochimique

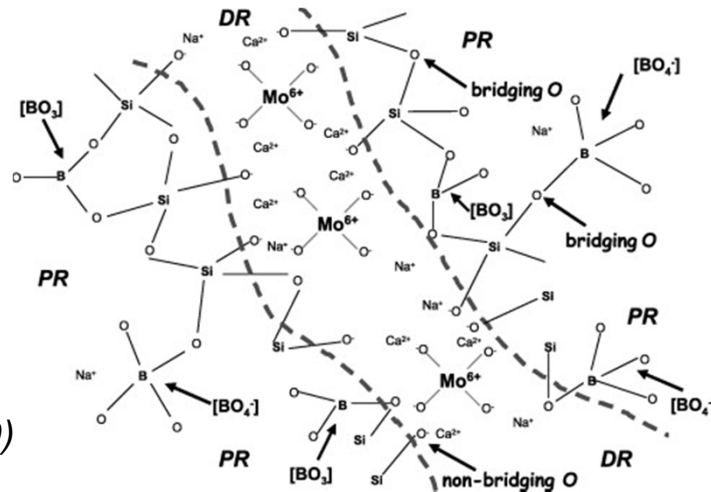
➤ Physico-chemical characteristics of molten glasses

Acido-basic properties allowing the exchange of O^{2-} :



$$K_{298}^{H_2O} = 10^{-14}$$

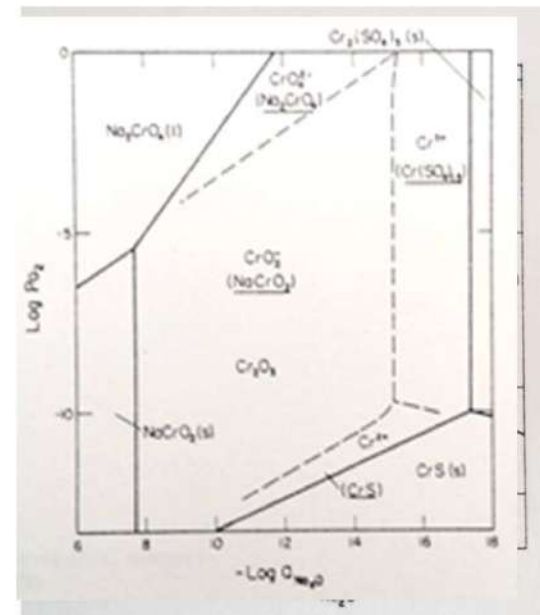
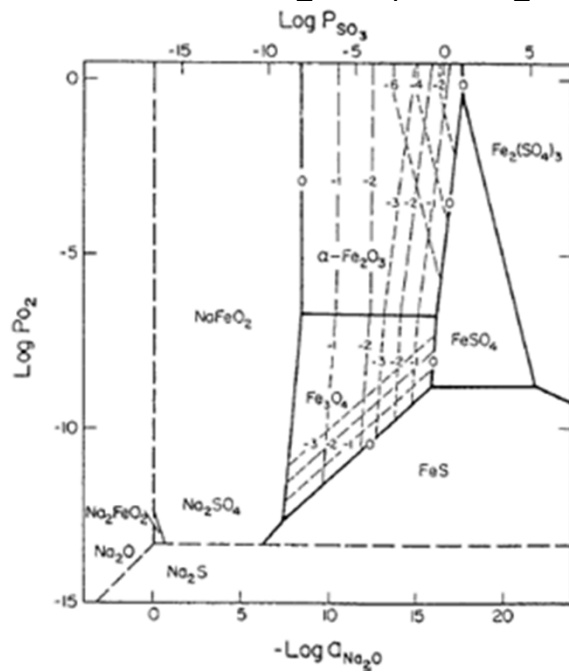
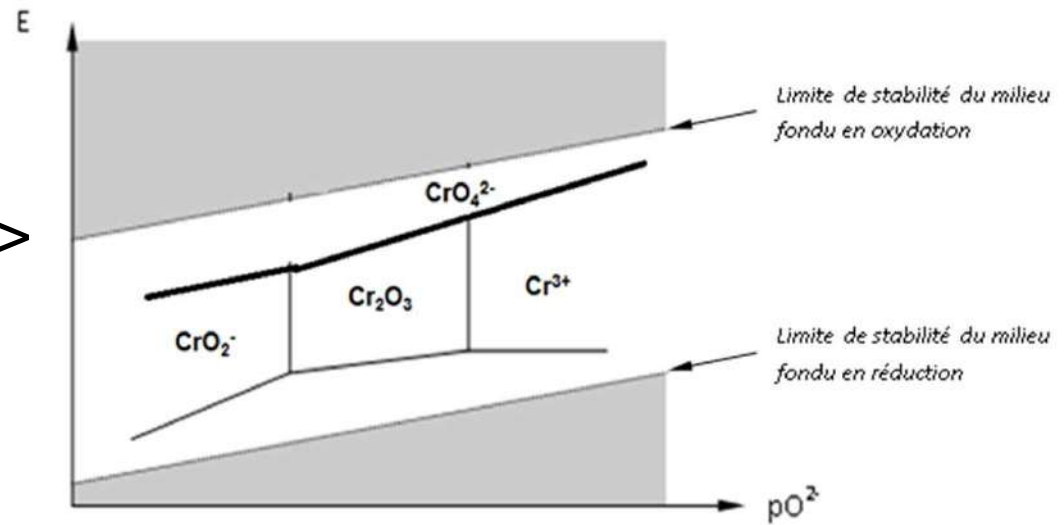
Oxo-complexing properties: formation of octa-, tétrahedra



D. Caurant et al (2010)

- Comme l'eau : les verres fondus sont des électrolytes qui ont des propriétés solvatantes et complexantes
- A la différence de l'eau : le milieu est très polymérisé
=> les solutés et complexes sont inclus dans le réseau et deviennent indiscernables du solvant

Probablement illusoire =>



R.A. Rapp et al. *Electrochim. Acta*, Vol 132 10 (1985)

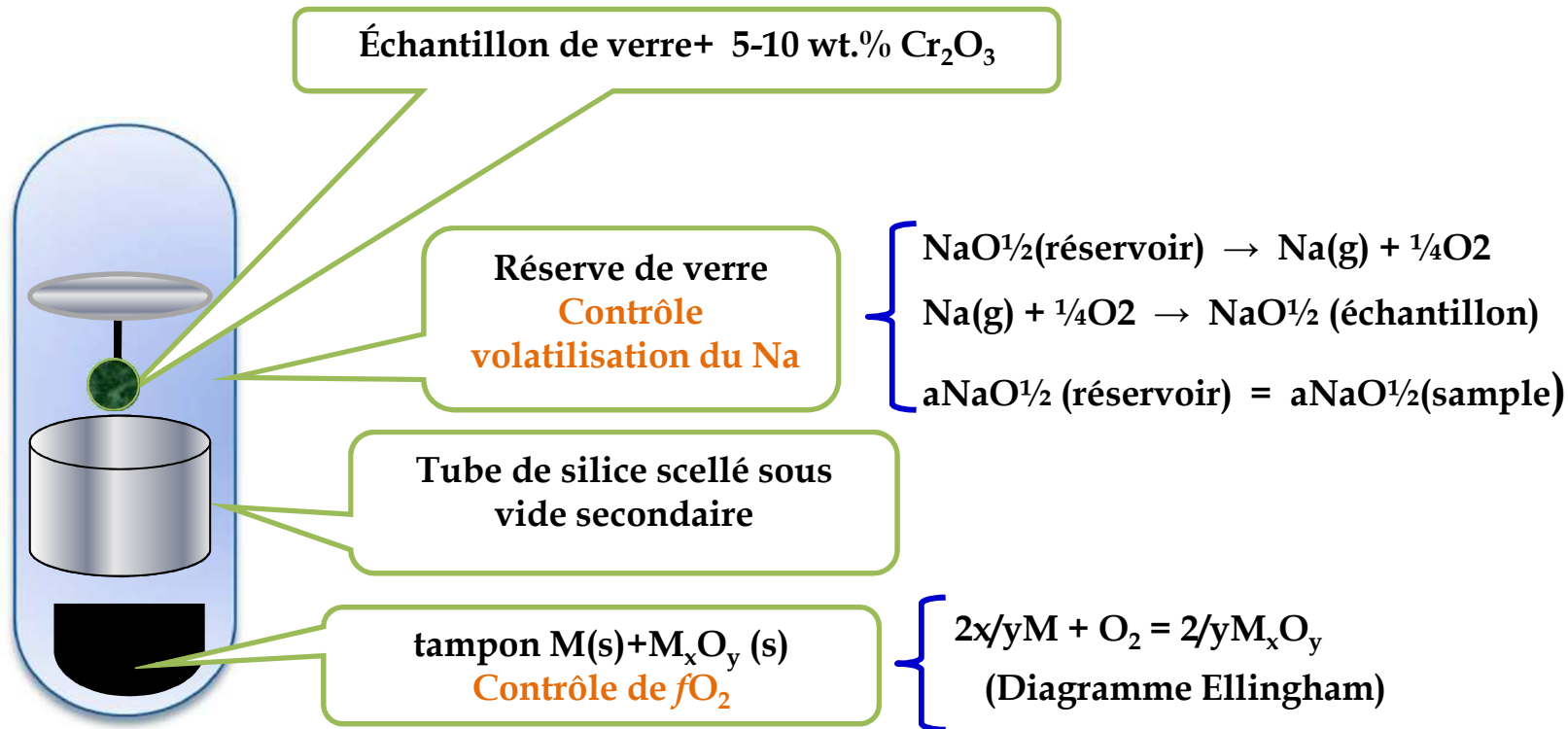
➤ Mesure de la solubilité de Cr_2O_3 : oxyde à cation multivalent

Limite de solubilité fonction

- ✓ température
- ✓ composition du verre
- ✓ fugacité en oxygène

➔ Mesure solubilité de Cr_2O_3 à l'équilibre

Montage expérimental



[6]

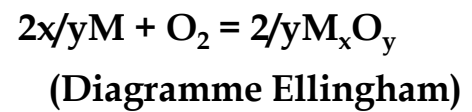
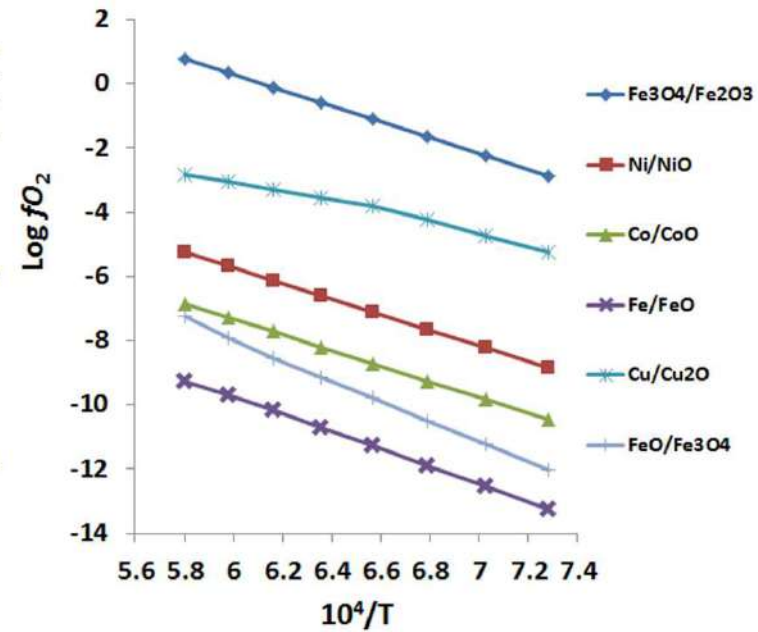
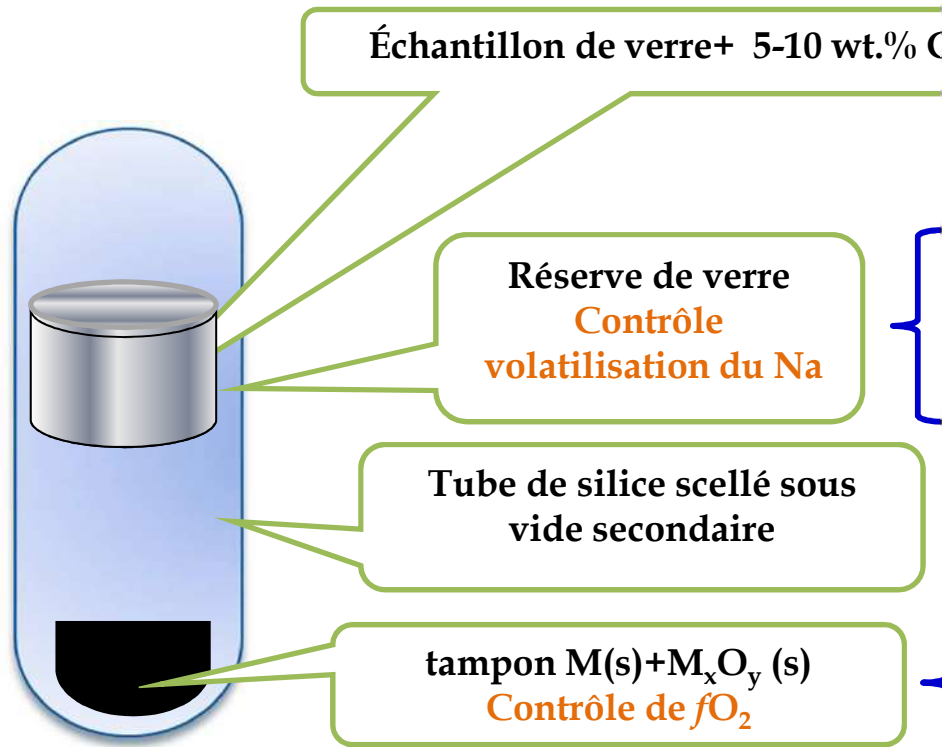
➤ Mesure de la solubilité de Cr_2O_3 : oxyde à cation multivalent

Limite de solubilité fonction

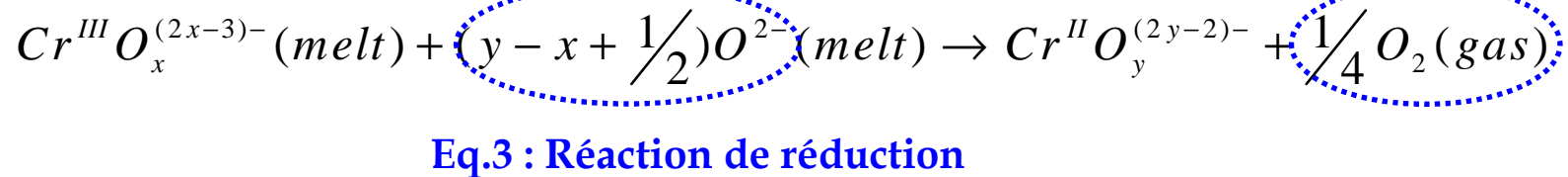
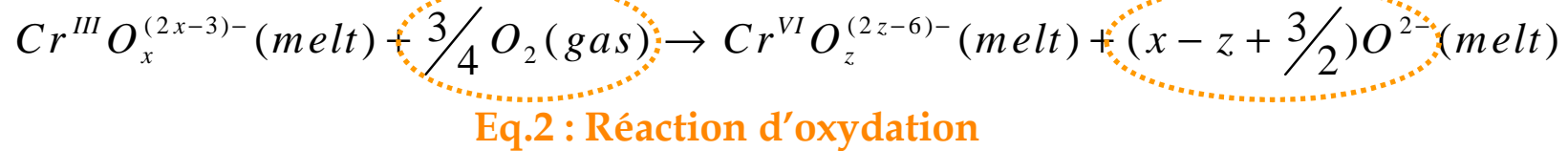
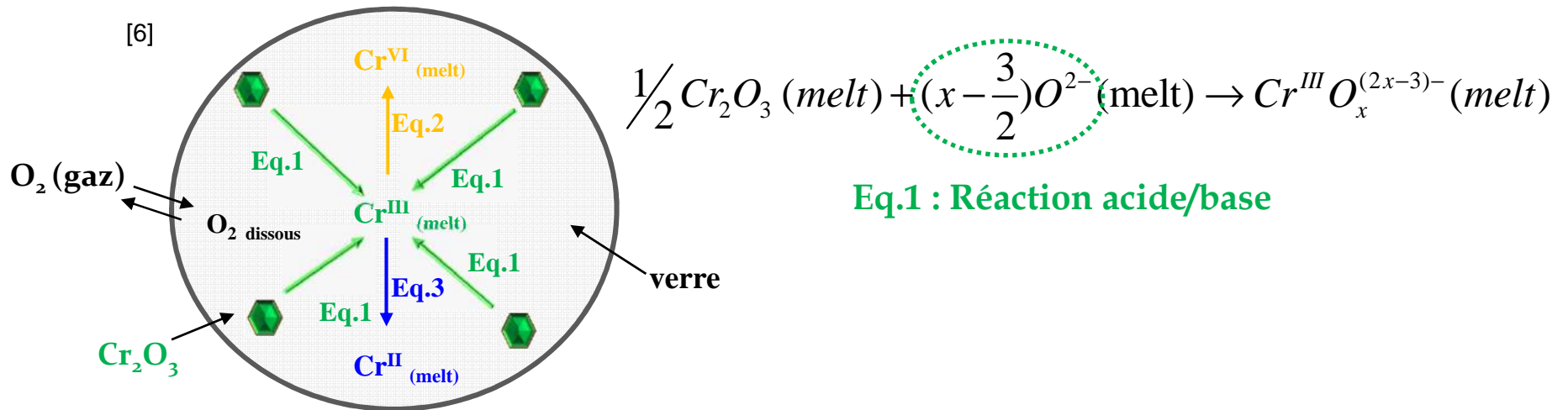
- ✓ température
- ✓ composition du verre
- ✓ fugacité en oxygène

➔ Mesure solubilité de Cr_2O_3 à l'équilibre

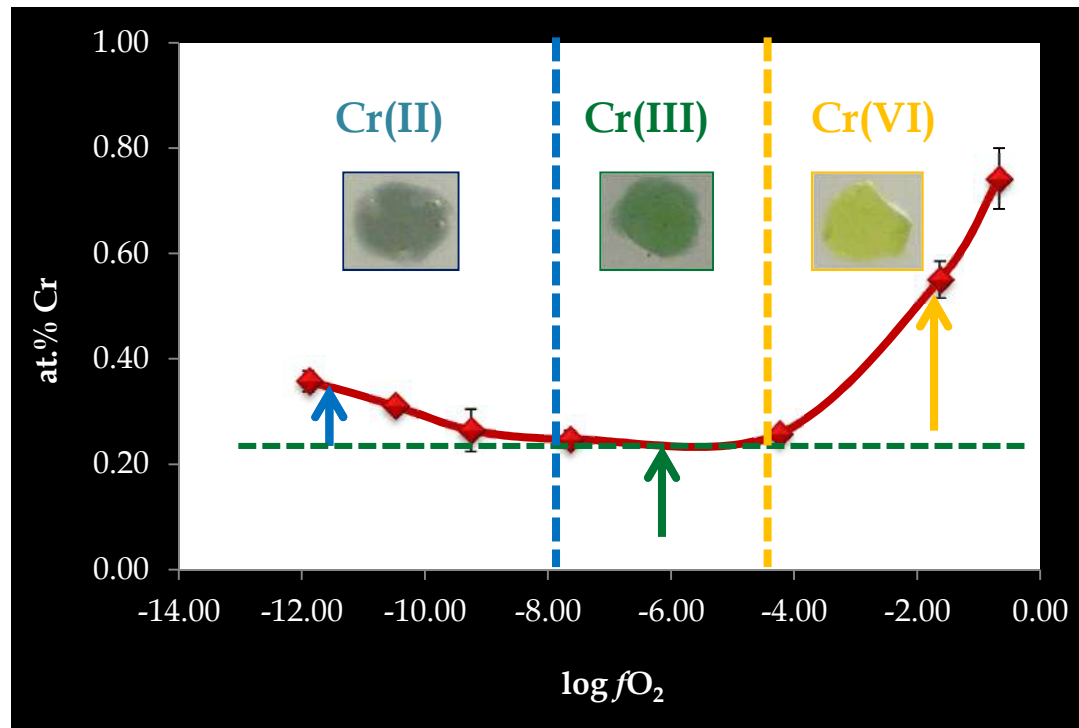
Montage expérimental



Physicochimie de Cr_2O_3 dans les verres fondus

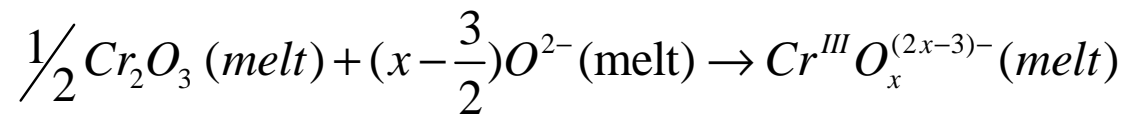


Solubilité de Cr₂O₃ dans NC3S (T = 1200°C)



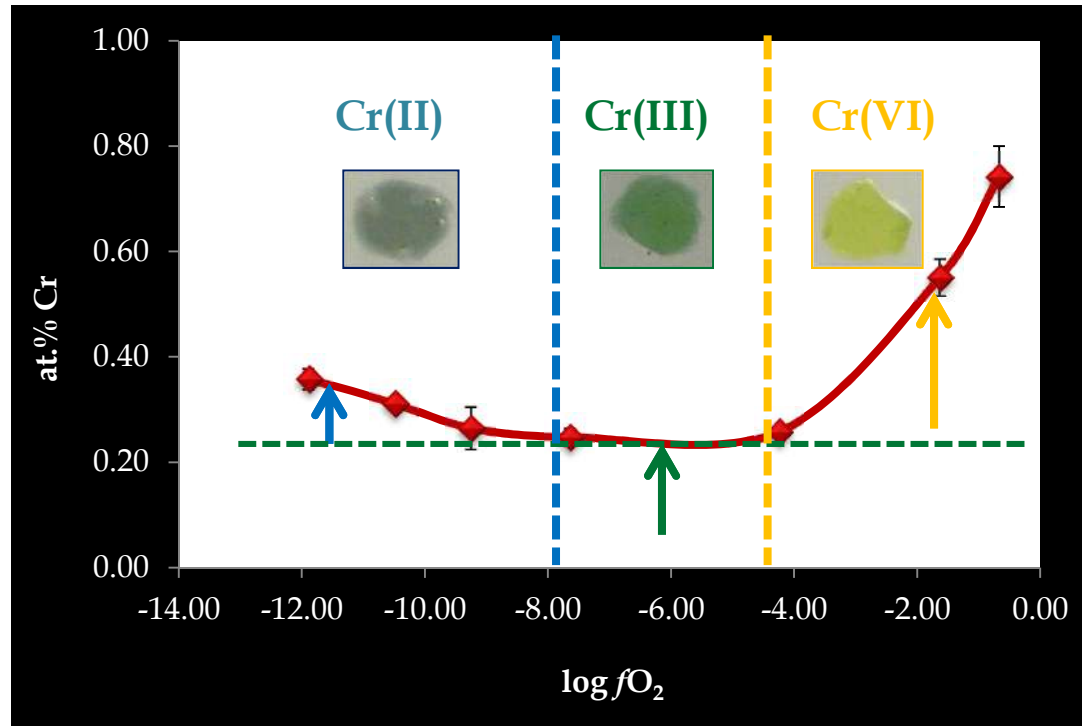
[7]

A l'équilibre, T=cte et fO_2 quelconque, la teneur en Cr^{III} est considérée constante tant que Cr₂O₃ solide persiste : saturation



$$Cr_{(total)} = Cr^{II} + Cr^{III} + Cr^{VI} \text{ (Analyses microsonde)}$$

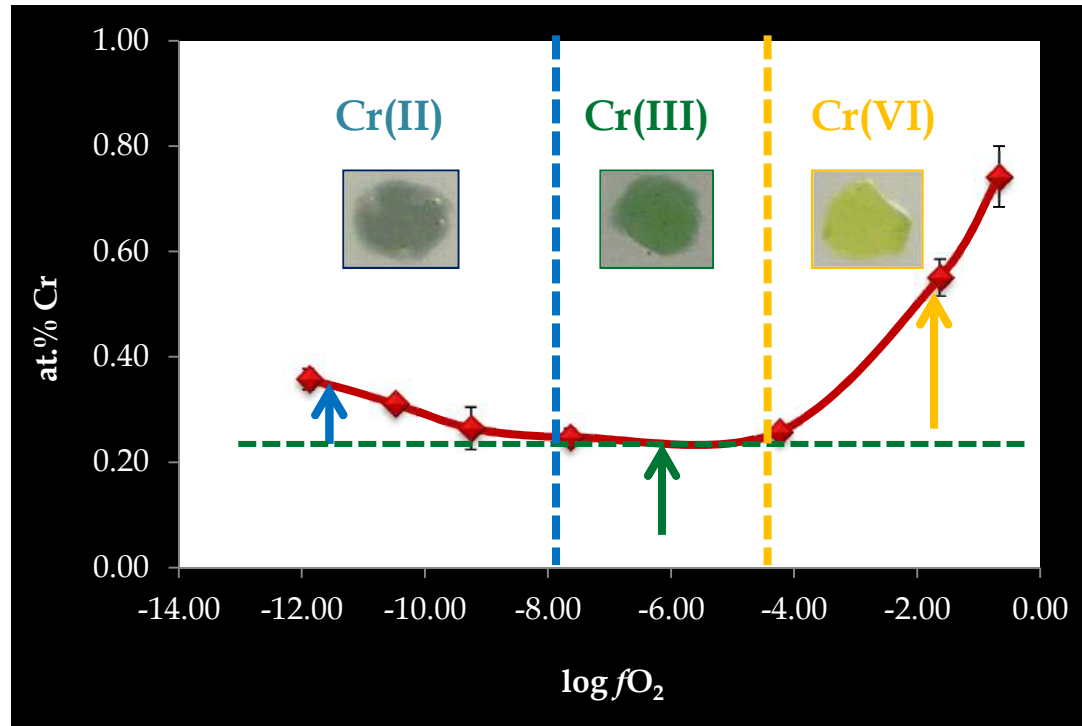
Solubilité de Cr_2O_3 dans NC3S ($T = 1200^\circ\text{C}$)



[7]

Milieu réducteur : $\text{Cr}_{(\text{total})} = \text{Cr}^{\text{III}} + \text{Cr}^{\text{II}}$

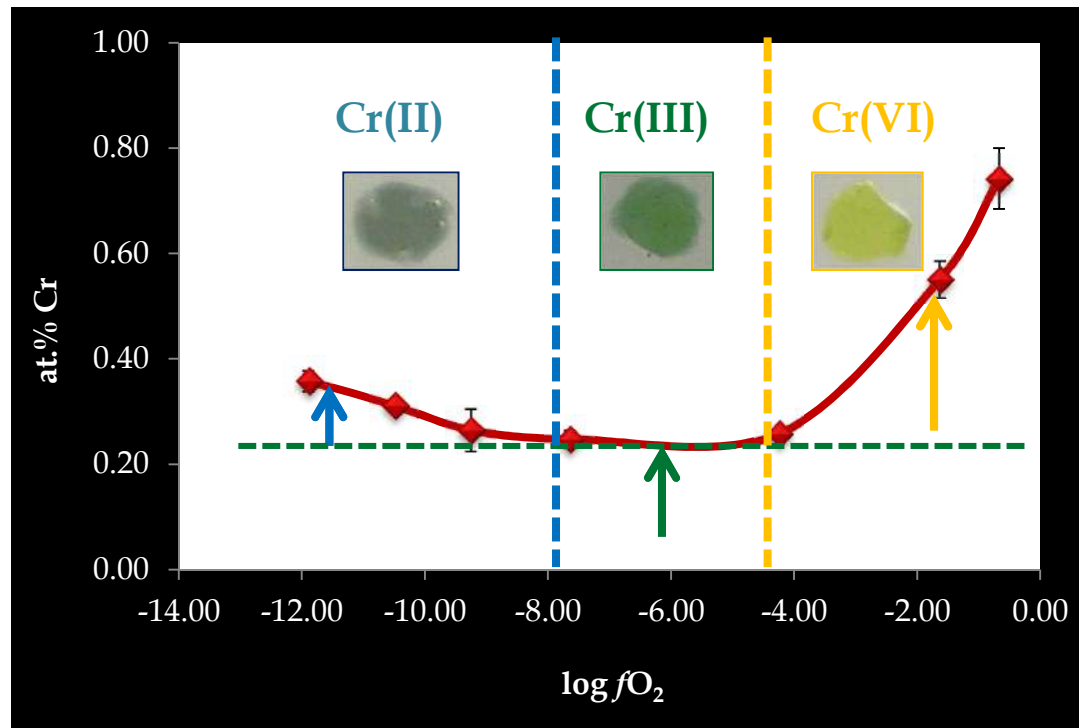
Solubilité de Cr_2O_3 dans NC3S ($T = 1200^\circ\text{C}$)



[7]

Milieu oxydant : $\text{Cr}_{(\text{total})} = \text{Cr}^{\text{III}} + \text{Cr}^{\text{VI}}$

Solubilité de Cr₂O₃ dans NC3S (T = 1200°C)



[7]

A l'équilibre, T=cte et fO_2 quelconque, la teneur en Cr^{III} est considérée constante tant que Cr₂O₃ solide persiste : saturation

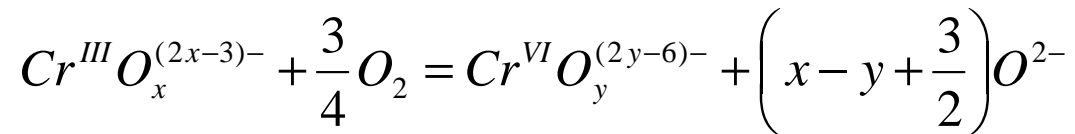


$$Cr_{(total)} = Cr^{II} + Cr^{III} + Cr^{VI} \text{ (Analyses microsonde)}$$

Chimie du chrome dans le verre

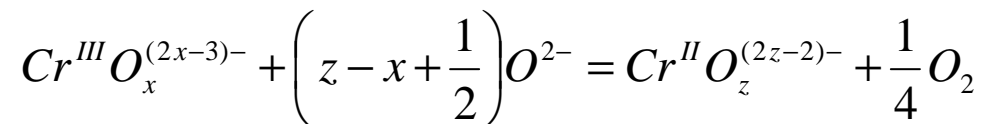
Equilibres RédOx associés à des réactions acide/base dans les verres

- Oxydation ($\text{Cr}^{\text{III}} \rightarrow \text{Cr}^{\text{VI}}$)



$$\log \frac{a[\text{CrO}_y^{(2y-6)-}]}{a[\text{CrO}_x^{(2x-3)-}]} = +\frac{3}{4} \log f\text{O}_2 + \text{Constante}$$

- Réduction ($\text{Cr}^{\text{III}} \rightarrow \text{Cr}^{\text{II}}$)



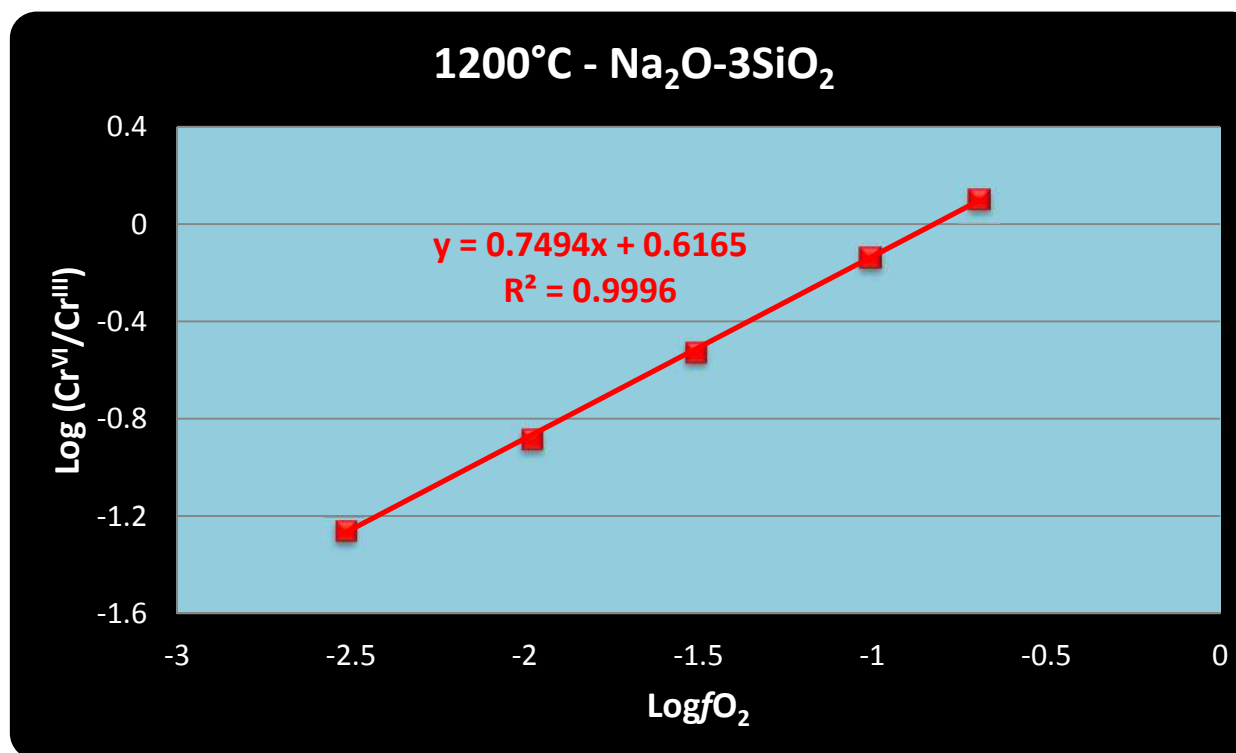
$$\log \frac{a[\text{CrO}_z^{(2z-2)-}]}{a[\text{CrO}_x^{(2x-3)-}]} = -\frac{1}{4} \log f\text{O}_2 + \text{Constante}$$

Chimie du chrome dans le verre

$\log(\text{Cr}^{\text{VI}}/\text{Cr}^{\text{III}})$ est tracé en fonction de $\log f\text{O}_2$

$$\log \frac{[\text{CrO}_y^{(2y-6)-}]}{[\text{CrO}_x^{(2x-3)-}]} = +\frac{3}{4} \log f\text{O}_2 + A_{ox}$$

$$A_{ox} = \left(y - x - \frac{3}{2} \right) \log a[\text{O}^{2-}] + \log K_{ox}$$



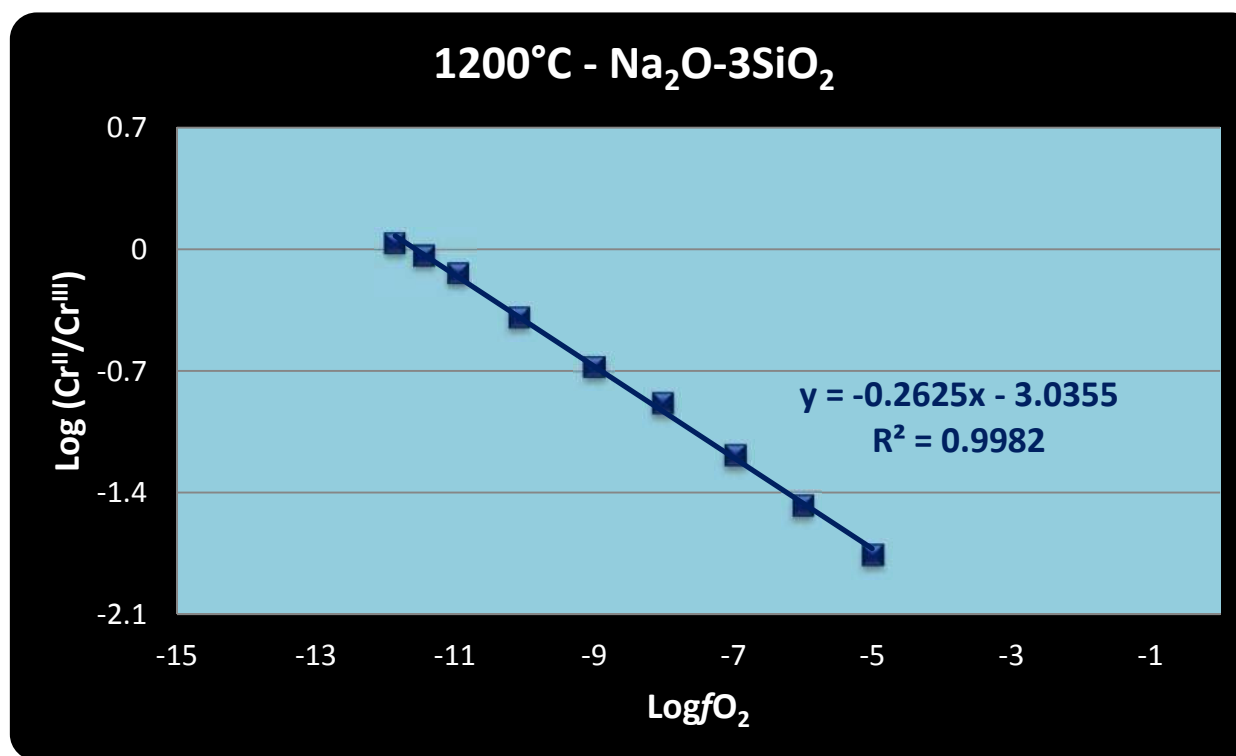
[7]

Chimie du chrome dans le verre

$\log(\text{Cr}^{\text{II}}/\text{Cr}^{\text{III}})$ est tracé en fonction de $\log f\text{O}_2$

$$\log \frac{[\text{CrO}_z^{(2z-2)-}]}{[\text{CrO}_x^{(2x-3)-}]} = \left(\frac{1}{4}\right) \log f\text{O}_2 + A_{red}$$

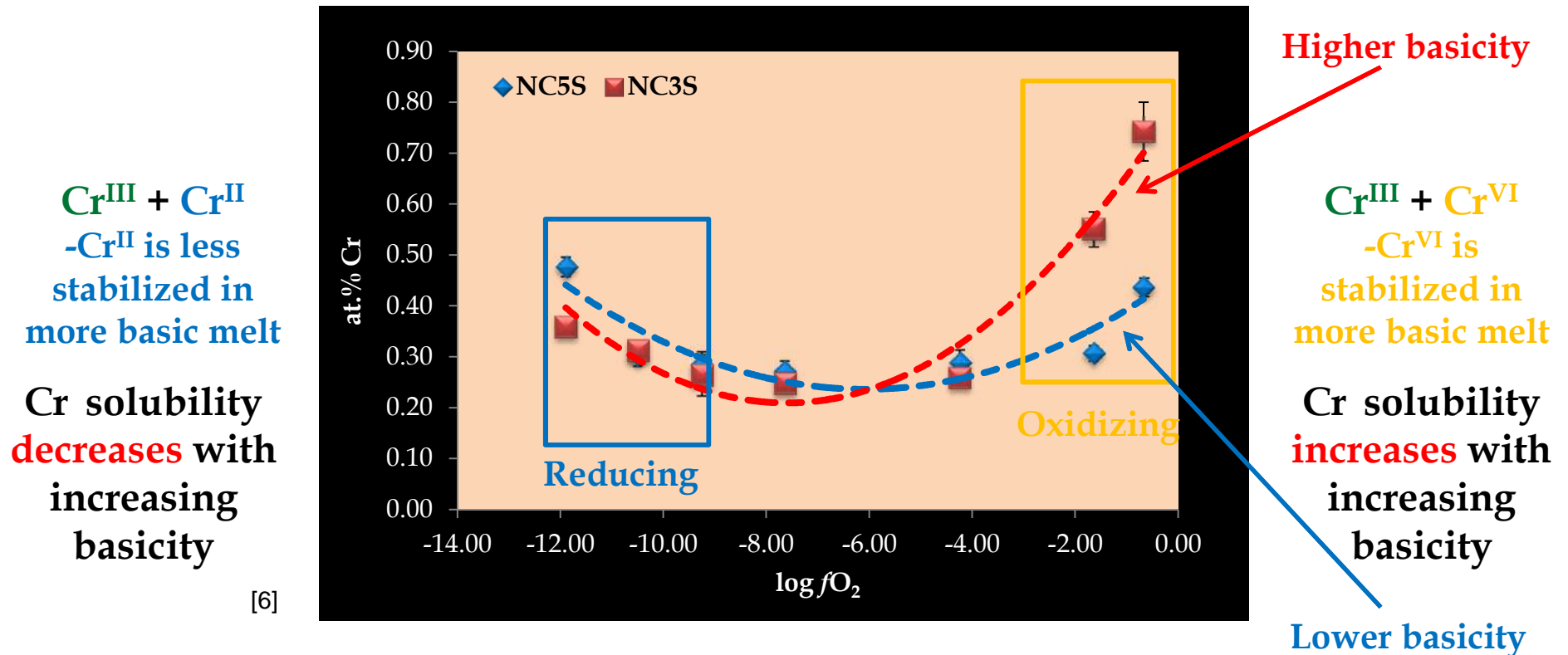
$$A_{red} = \left(z - x + \frac{1}{2}\right) \log a[\text{O}^{2-}] + \log K_{Red}$$



[7]

Influence de la basicité sur la solubilité de Cr_2O_3

La solubilité de Cr dans **NC3S** et dans **NC5S** à $T = 1200^\circ\text{C}$

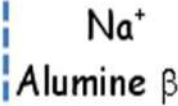
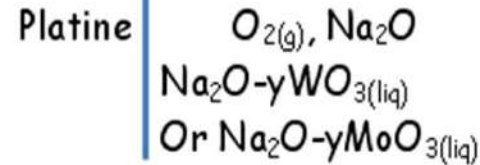


L'augmentation de basicité favorise la forme la plus oxydée de Cr

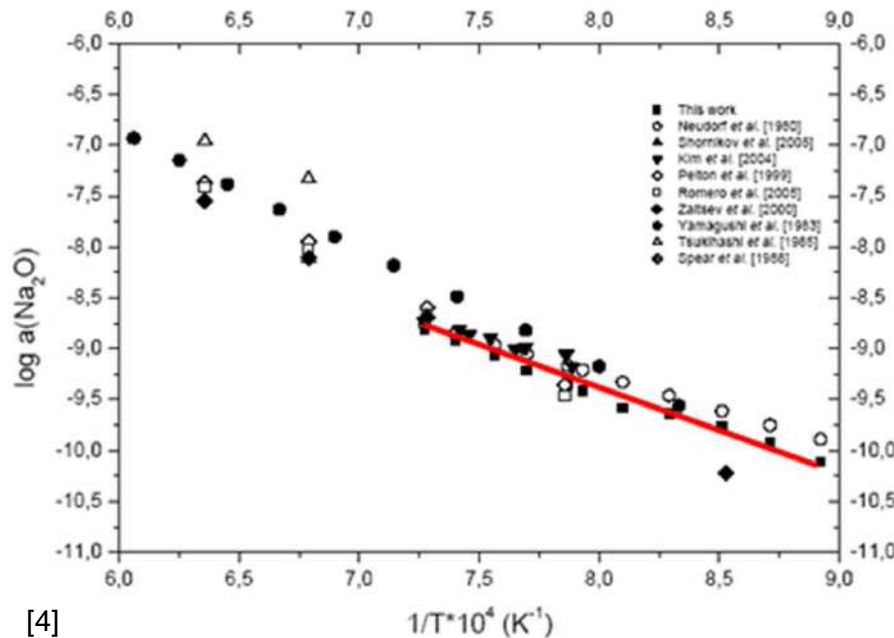
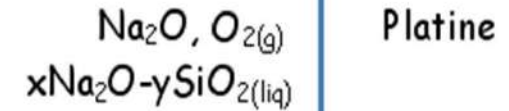
➤ Experimental device for EMF measurement of $a(\text{Na}_2\text{O})$

At low $T < 1000^\circ\text{C}$
(Neudorf *et al.*)

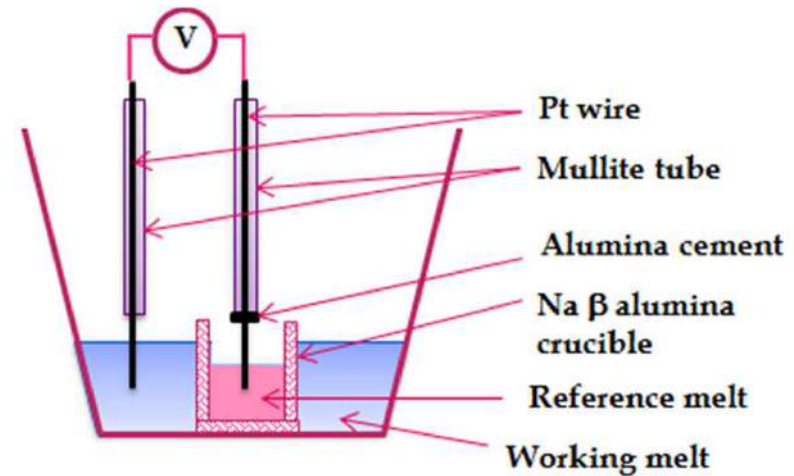
Reference $\frac{1}{2}$ Cell



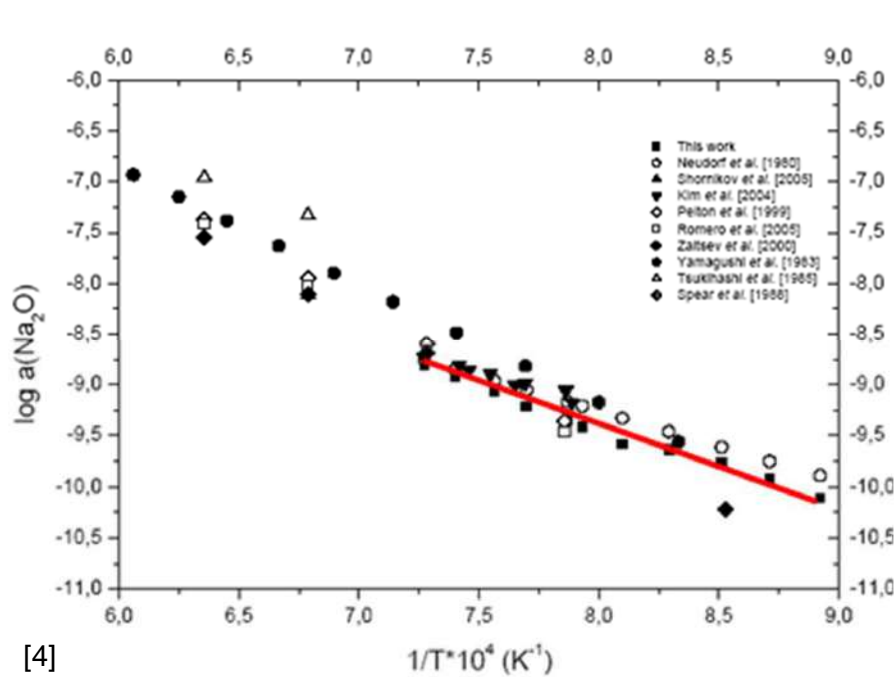
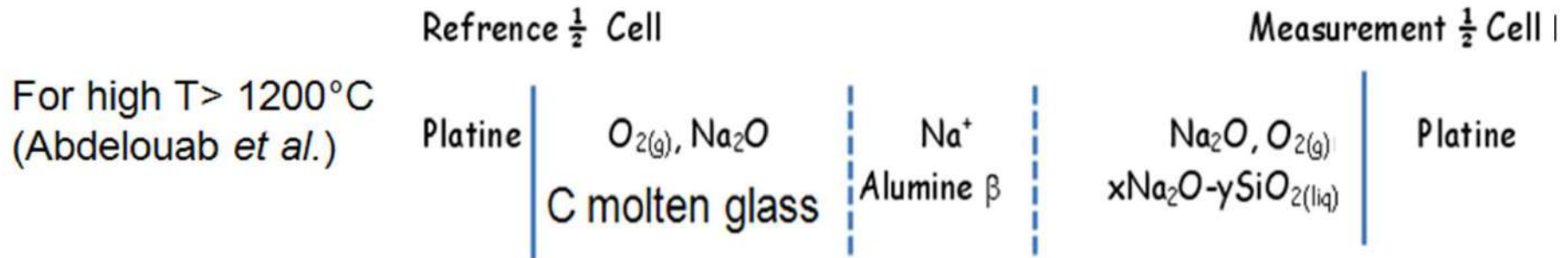
Measurement $\frac{1}{2}$ Cell



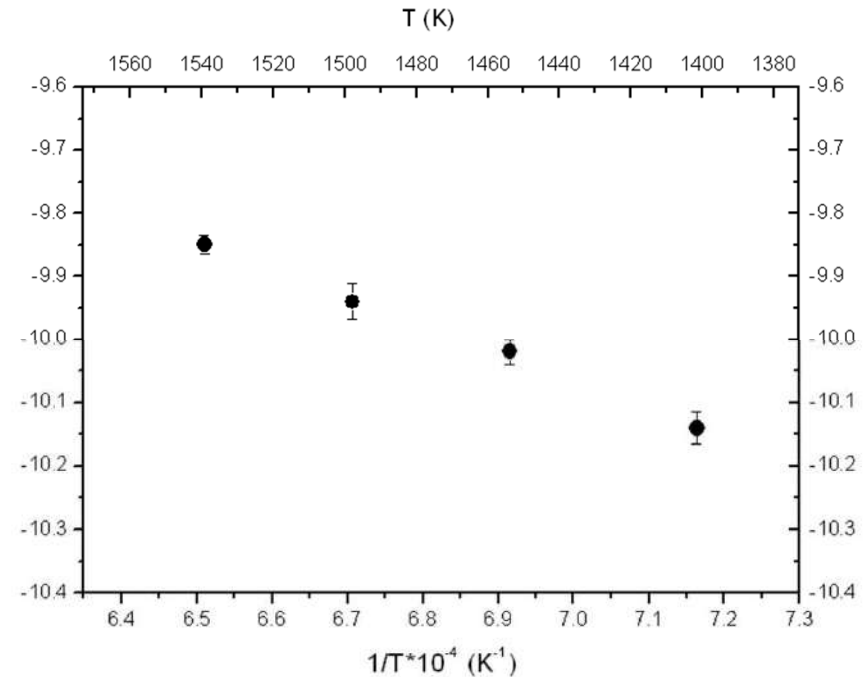
[4]



➤ Experimental device for EMF measurement of $a(\text{Na}_2\text{O})$



[4]



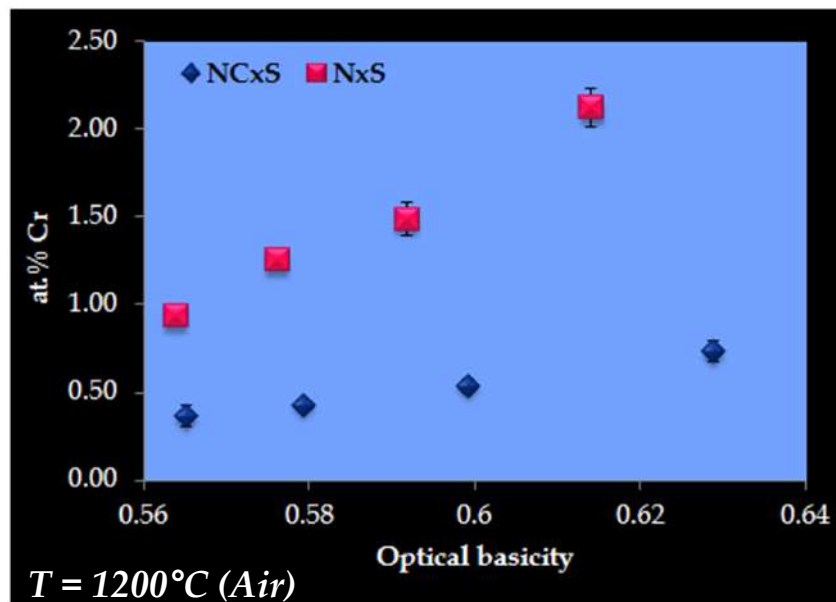
Verre C : 65,2 SiO_2 3,3 Al_2O_3 4,1 B_2O_3 7,3 CaO 3 MgO 15,7 Na_2O 1,25 K_2O 0,15 Fe_2O_3

Comparison of Cr solubility in binary (NxS) and ternary (NCxS) melts

$\text{Na}_2\text{O}-x\text{SiO}_2$ ($x = 2, 2.5, 3$ and 3.5) (Khedim et al. 2008)

and

$\text{Na}_2\text{O}-\text{CaO}-x\text{SiO}_2$ ($x = 3, 4, 5$ and 6) (Katrina et al. 2013)



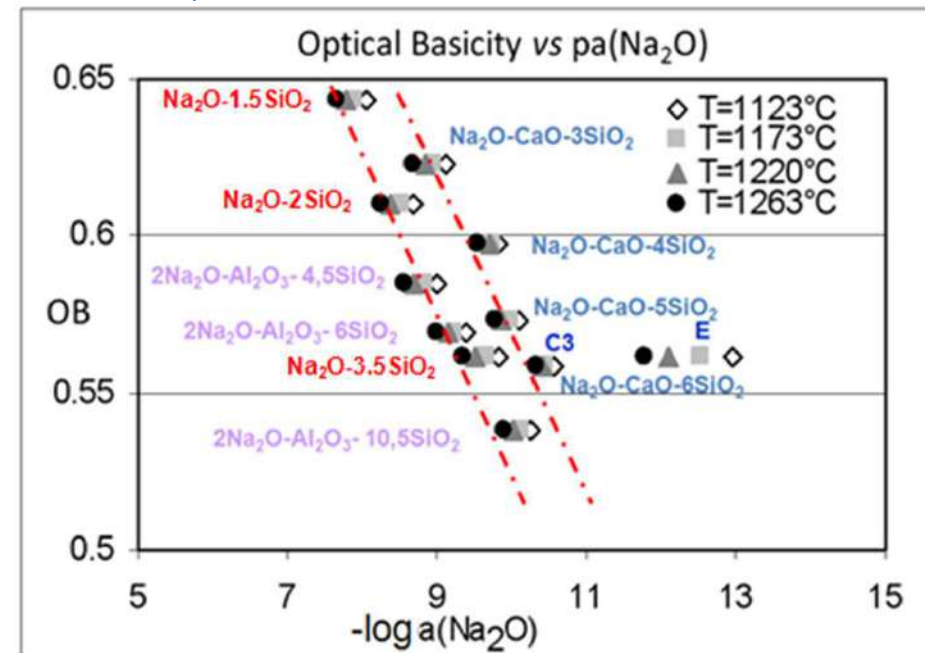
[18]

For the same optical basicity (Λ) Cr solubility is greater in (NxS)



$\Rightarrow a(\text{Na}_2\text{O})$ determines the Cr solubility

$\Rightarrow a(\text{Na}_2\text{O})$ determines the « fluxing » capability of melt regarding Cr_2O_3 layer

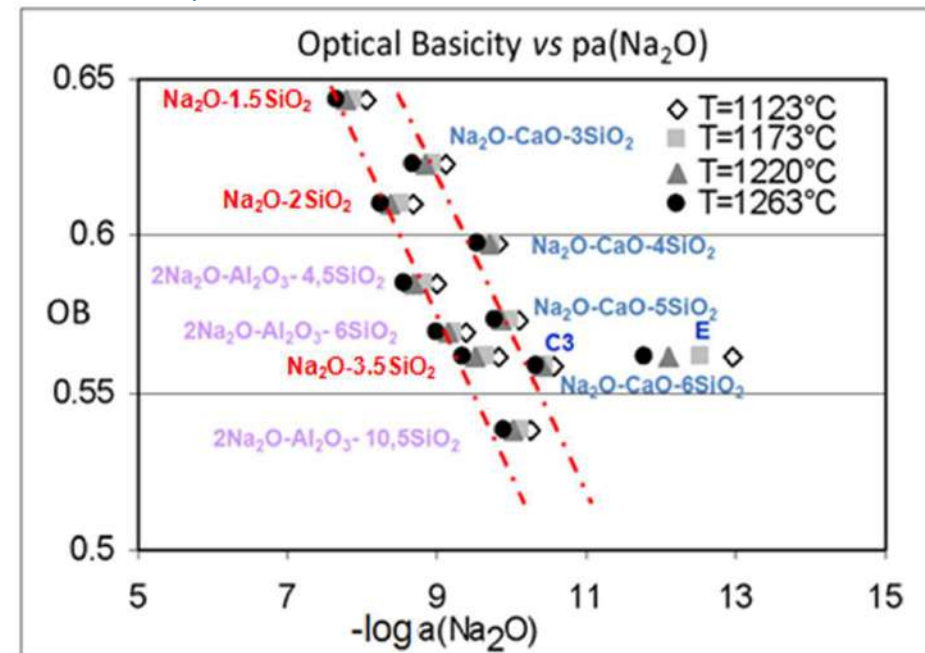
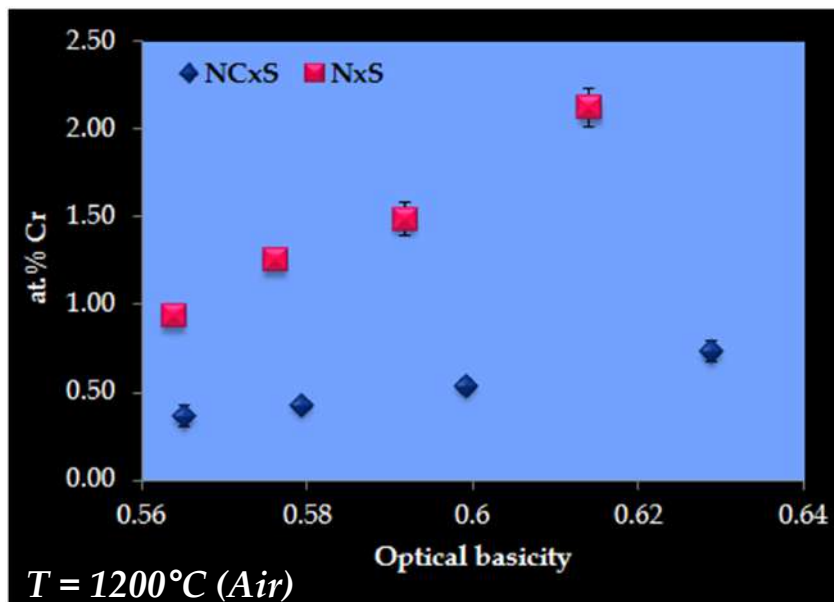


Comparison of Cr solubility in binary (NxS) and ternary (NCxS) melts

$\text{Na}_2\text{O}-x\text{SiO}_2$ ($x = 2, 2.5, 3$ and 3.5) (Khedim et al. 2008)

and

$\text{Na}_2\text{O}-\text{CaO}-x\text{SiO}_2$ ($x = 3, 4, 5$ and 6) (Katrina et al. 2013)



[18]

- The optical basicity (Λ) is not the relevant criterion for Corrosion Prediction => "O²⁻" sensor useful

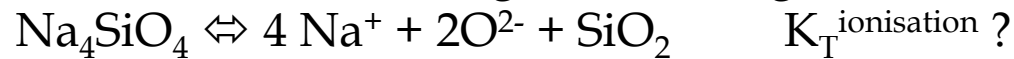
- Comportement des alliages métalliques dans les silicates fondus

Oxydation électrochimique

A. Tools for predicting the chemical reactivity

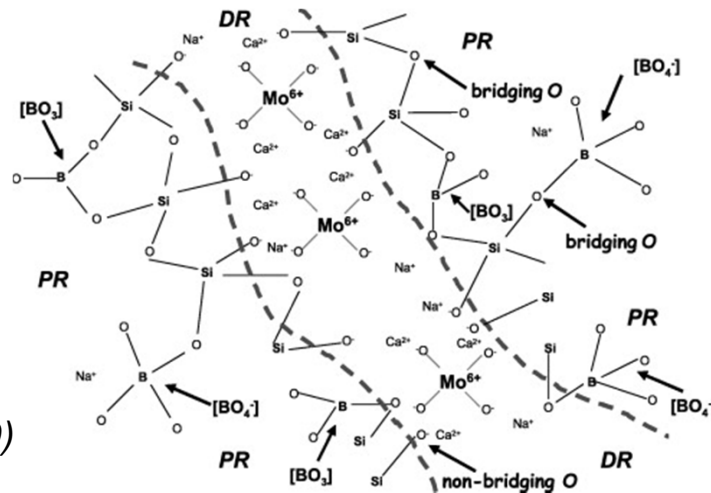
➤ Physico-chemical characteristics of molten glasses

Acido-basic properties allowing the exchange of O^{2-} :



$$K_{298}^{H_2O} = 10^{-14}$$

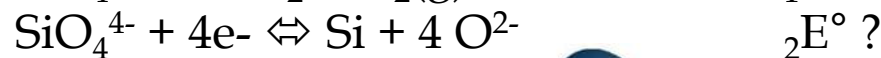
Oxo-complexing properties: formation of octa-, tétrahedra



D. Caurant et al (2010)

Like water, molten glasses are electrolytic liquids having solvating properties

Oxydo-reducing properties:



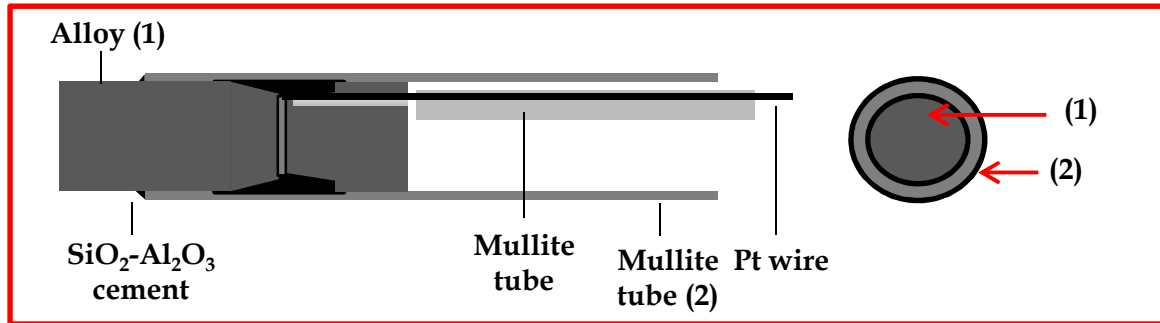
$${}_1E^\circ_{O_2/H_2O} = 1.23V/ENH$$

$${}_2E^\circ_{H_2O/H_2} = 0V/ENH$$

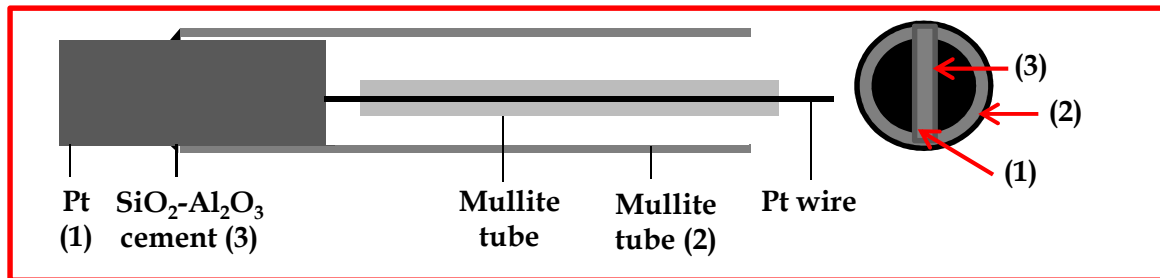
Corrosion of alloys by molten glass

Electrochemical measurements

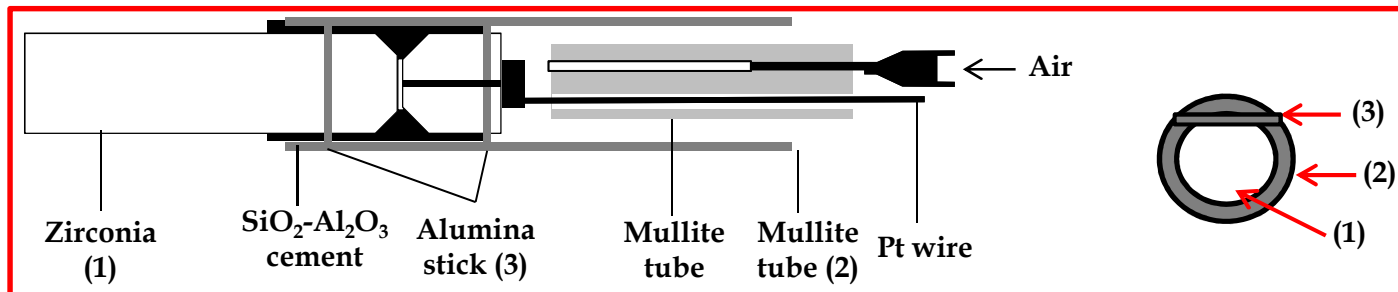
Electrodes:



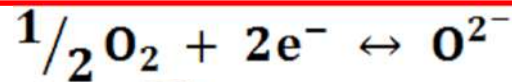
Working electrode



Counter electrode



Yttria
stabilized
zirconia
reference
electrode
(YSZ)



Corrosion of alloys by molten glass

Electrochemical measurements

- Polarization resistance and free potential measurements at high temperature.

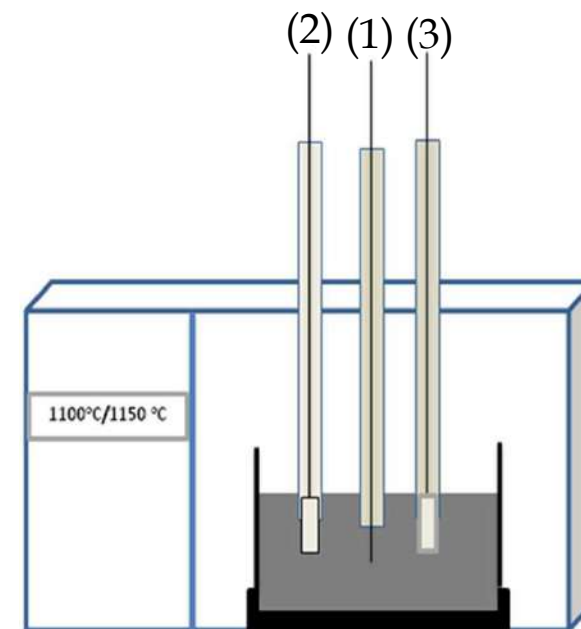
3 specific electrodes:

- 1) Working electrode
(Pt wire and alloy rods)
- 2) Counter electrode (Pt plate)
- 3) Reference electrode
(Yttria stabilized zirconia)

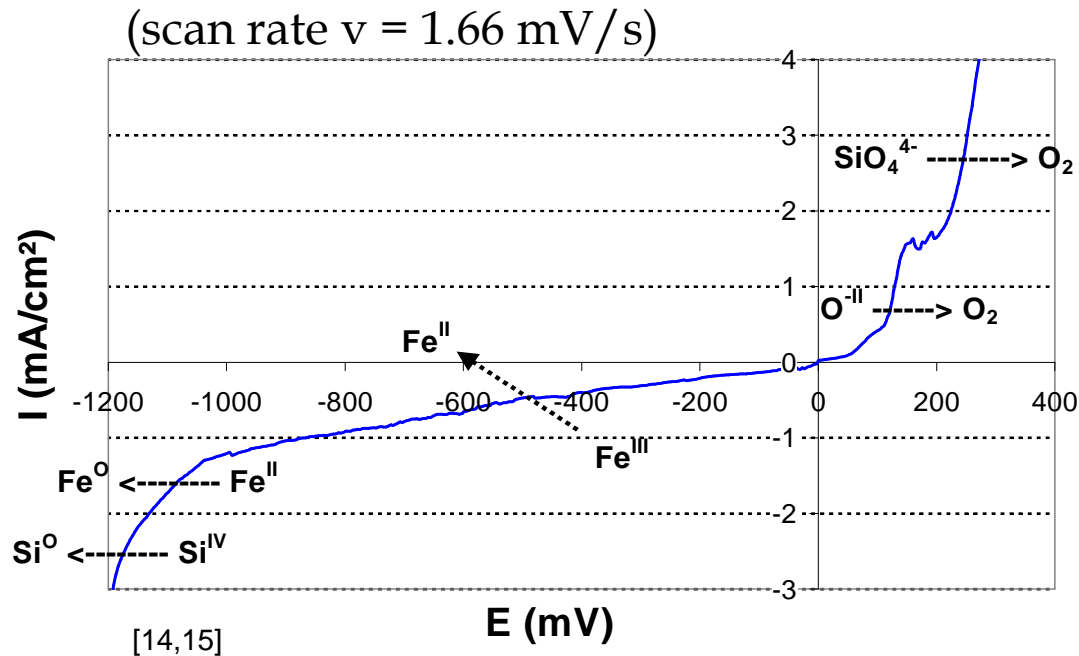


Furnace

Acquisition system



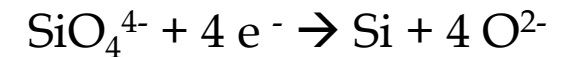
➤ Electroactivity domain of the molten glass



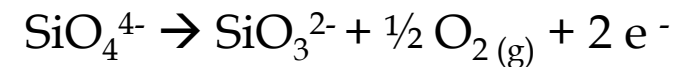
✓ **Pertinent information**

- **Extension of the domain:**
from -1.2 V to 0.2 V at 1050°C

- **Cathodic limit:**



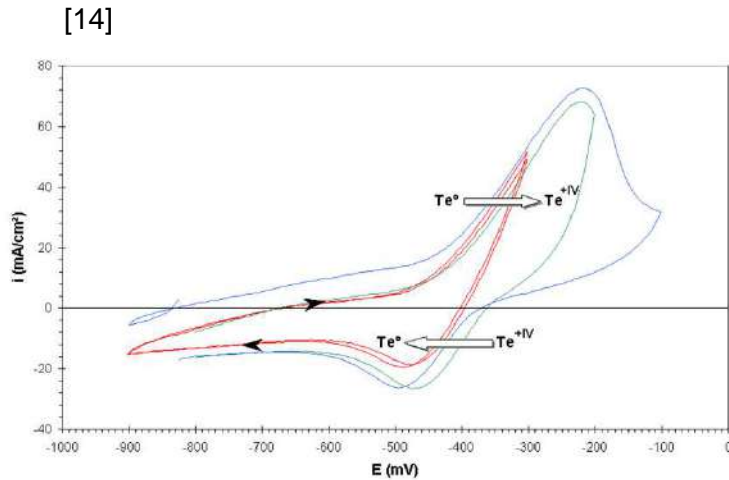
- **Anodic limit:**



✓ NB : Fe was often present as impurity into industrial glass melt

➤ Study of $\text{Te}^{+IV}/\text{Te}$ by cyclic voltammetry in CE57 molten glass

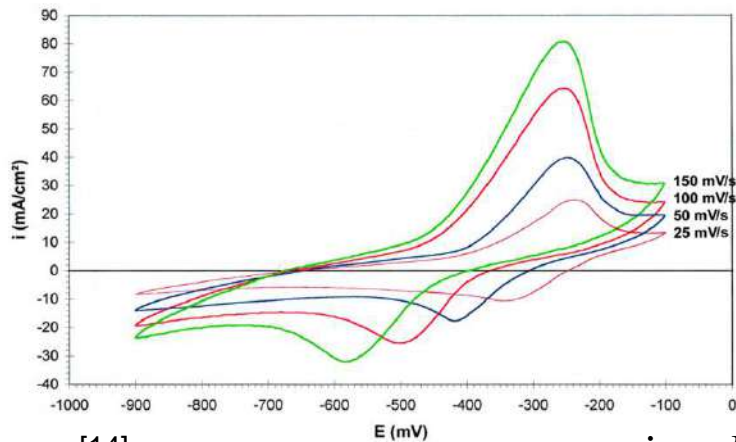
✓ **Thermodynamic features**



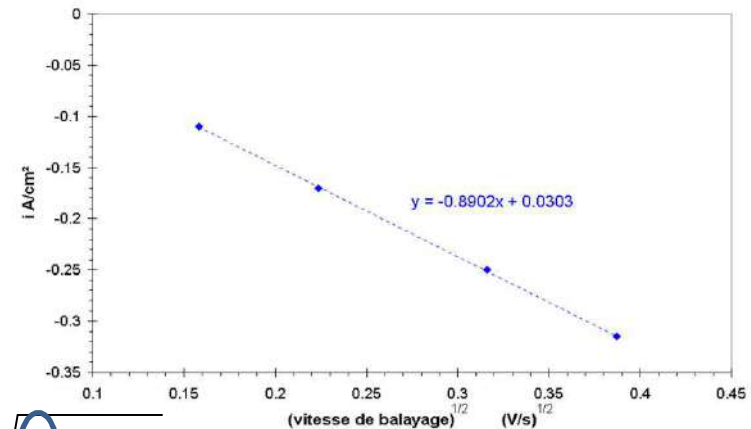
- Single oxidation state $\text{Te}^{\circ} \Rightarrow \text{Te}^{+IV}$
- $E_{1/2}^{\text{ox}} - E_{1/2}^{\text{red}} > 0.34\text{V} \Rightarrow$ irreversible process
- $E_{(\text{Te}^{+IV}/\text{Te}^{\circ})} = -0.33\text{V} / E_{\text{ZrO}_2}$

The oxidizing capability of Te^{+IV} is close to that of Fe^{+III}

✓ **Kinetic features:** the diffusion coefficient of Te^{+IV} can be deduced from the Randles-Sevcic equation : $D = 2.5 \times 10^{-7} \text{ cm}^2 \cdot \text{s}^{-1}$.

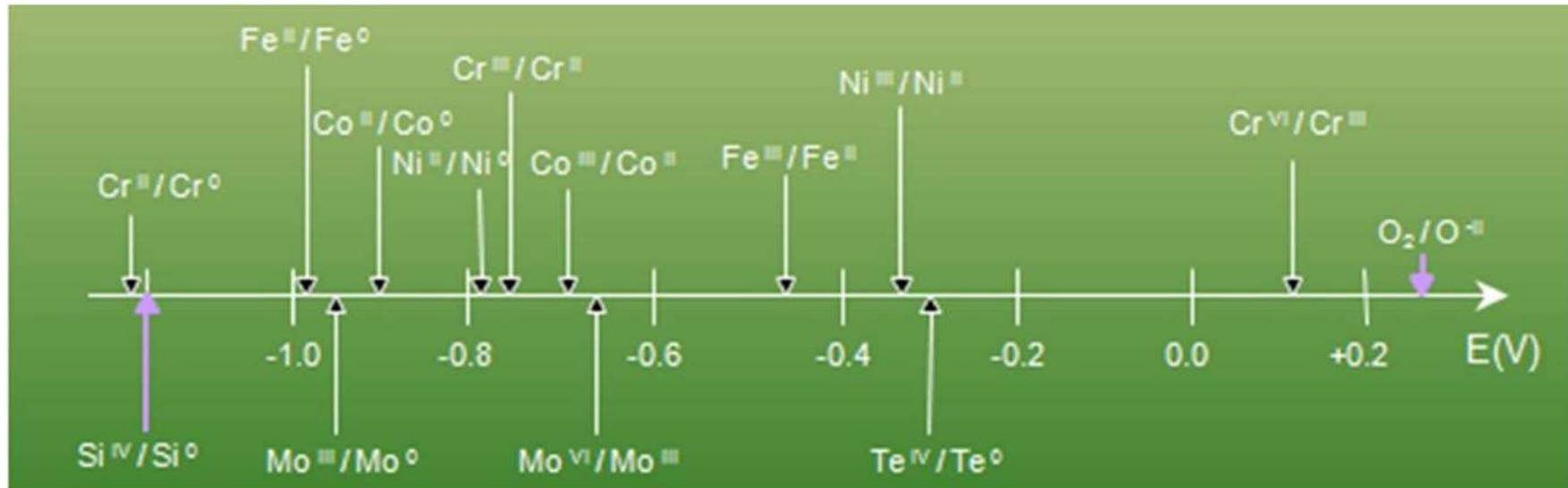


[14]



$$i_p = K \cdot n \cdot \mathcal{S} \cdot C_o^{Ox} \cdot \sqrt{\frac{n \cdot \mathcal{S}}{R \cdot T}} \cdot \sqrt{v \cdot \pi \cdot D_{Ox}}$$

➤ Determination of a scale of “formal” potentials



[14,15]

$$1000^{\circ}\text{C} < T < 1400^{\circ}\text{C}$$

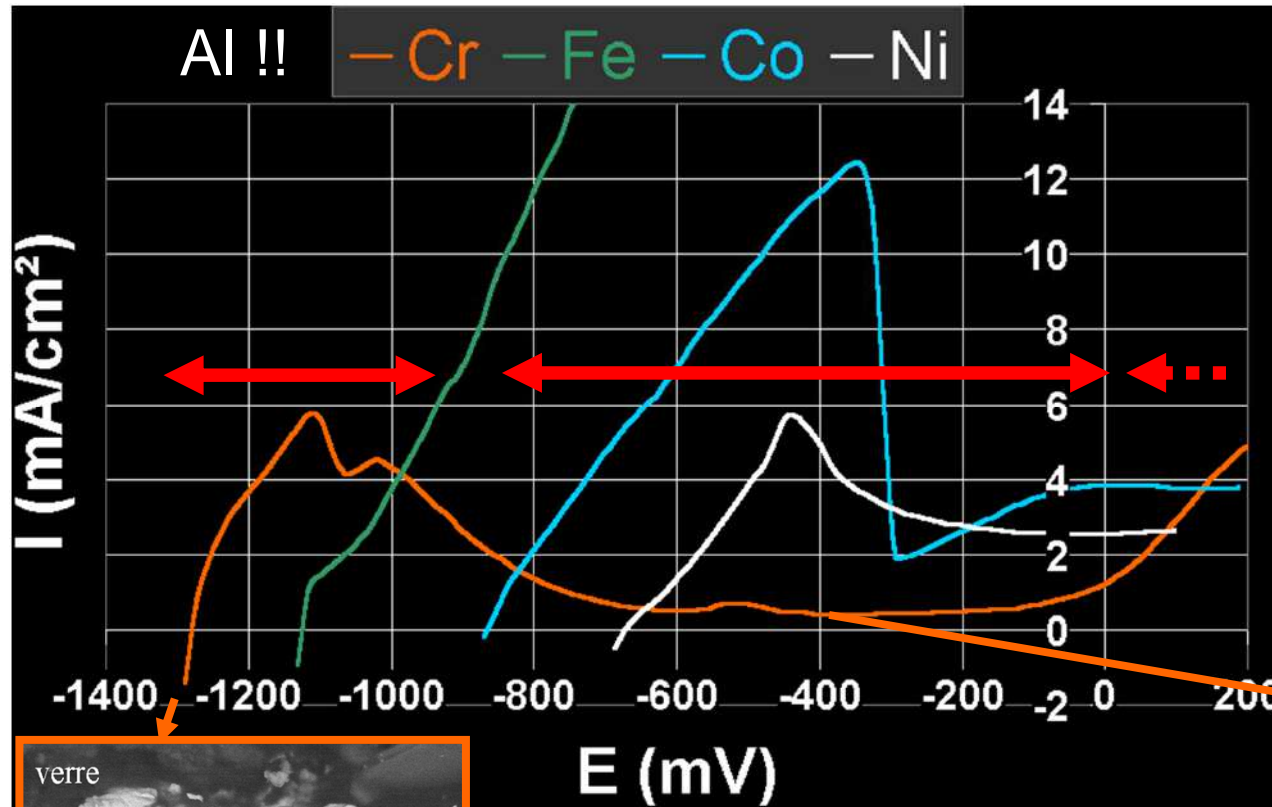
Corroborate data obtained by other researchers: Claes, Pinet, Schreiber, Rüssel,....

- ✓ Allows predicting the chemical reactions ($\Delta G^{\circ} = -nF E^{\circ}$)
=> Giving access to corrosion mechanism

B. Kinetic parameters of the corrosion

➤ Behavior of pure metals : dynamic polarisation at 1050°C

[15]



- Fe : active
never in passive state

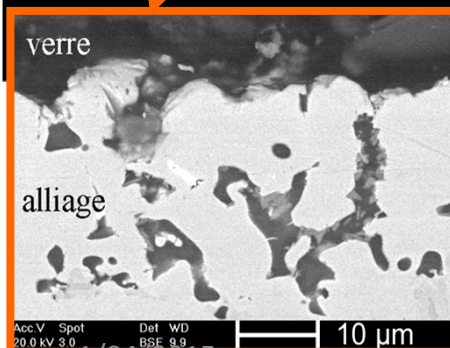
- Co et Ni : pseudo
passive state

- Cr : active but
passive state attainable

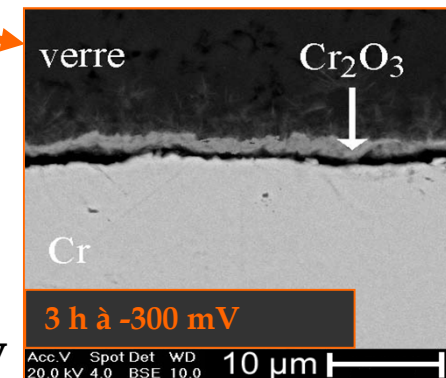
A: Cr \Rightarrow Cr^{+II}

P: Cr₂O₃

T: Cr^{+VI}



Corroded alloy



protected alloy

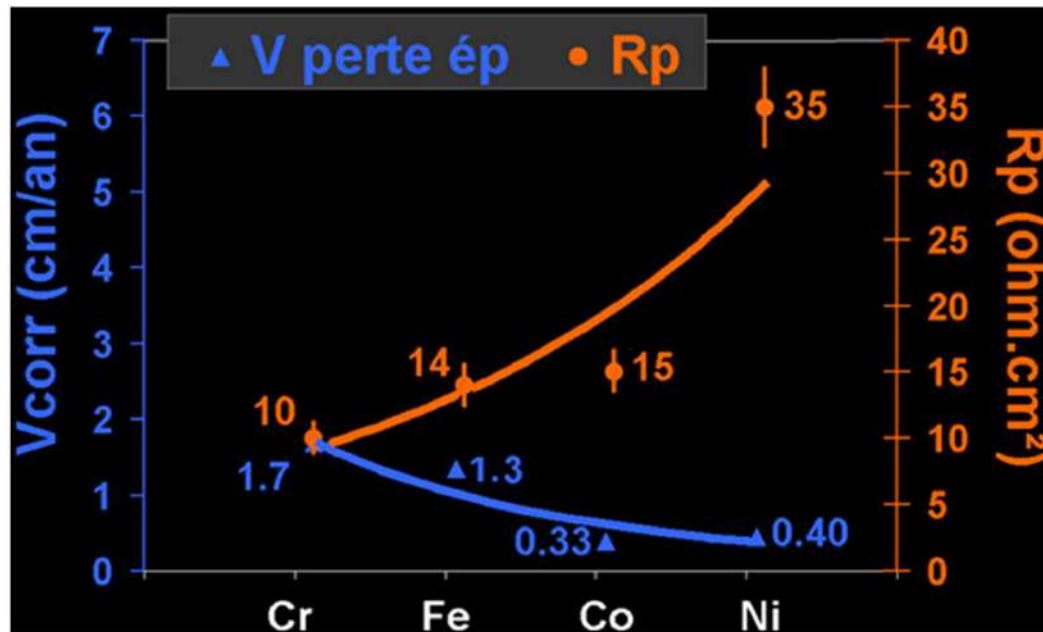
Acc.V Spot Det WD
20.0 kV 3.0 BSE 9.9
1/04/2015



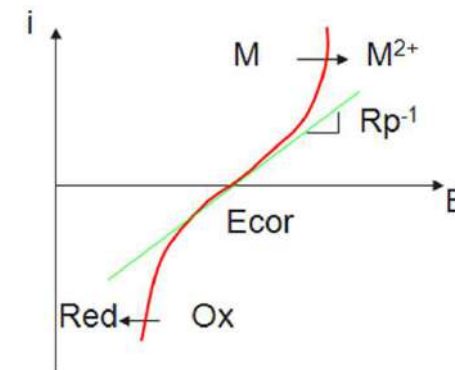
GDR Verres 3338

[15]

| | Cr | Fe | Co | Ni |
|--------------------------------------|--|---|---|---|
| E_{corr} (mV) | - 1300 | - 1100 | - 850 | - 650 |
| Réaction anodique | $\text{Cr} \rightarrow \text{Cr}^{\text{II}} + 2 e^-$ | $\text{Fe} \rightarrow \text{Fe}^{\text{II}} + 2 e^-$ | $\text{Co} \rightarrow \text{Co}^{\text{II}} + 2 e^-$ | $\text{Ni} \rightarrow \text{Ni}^{\text{II}} + 2 e^-$ |
| Réaction cathodique majoritaire | $\text{Si}^{\text{IV}} + 4e^- \rightarrow \text{Si}^0$ | $\text{Fe}^{\text{III}} + 1e^- \rightarrow \text{Fe}^{\text{II}}$ | $\text{Fe}^{\text{III}} + 1e^- \rightarrow \text{Fe}^{\text{II}}$ | $\text{Fe}^{\text{III}} + 1e^- \rightarrow \text{Fe}^{\text{II}}$ |
| R_p ($\Omega \cdot \text{cm}^2$) | 10 | 14 | 15 | 35 |



✓ Polarisation resistance

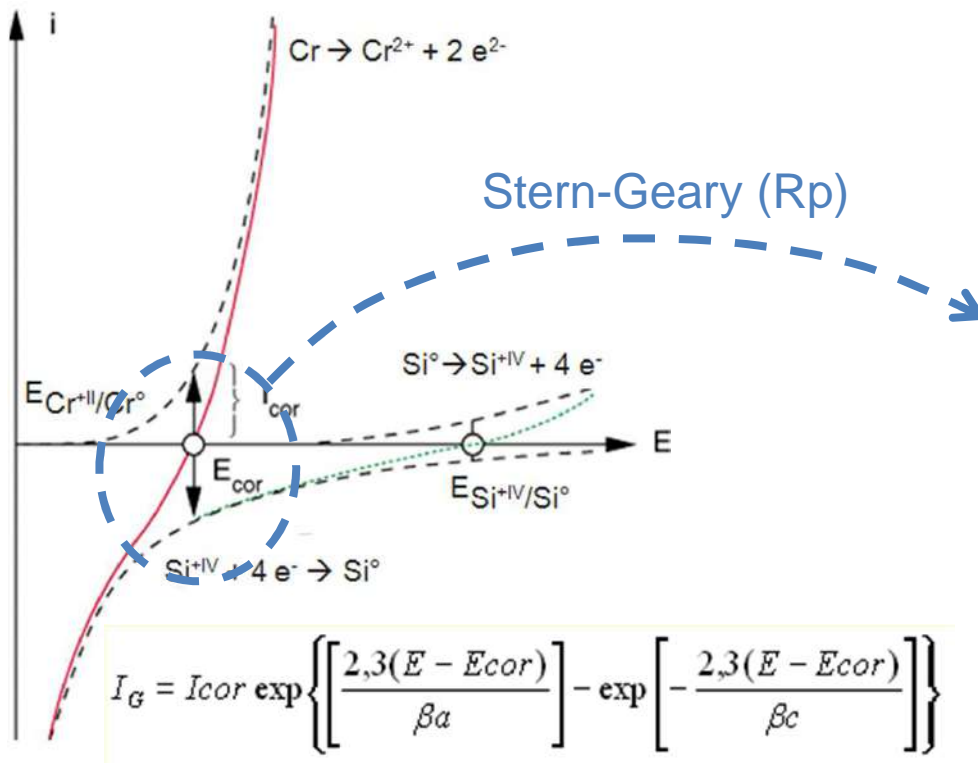


✓ Metallographic measurement of the corrosion rate

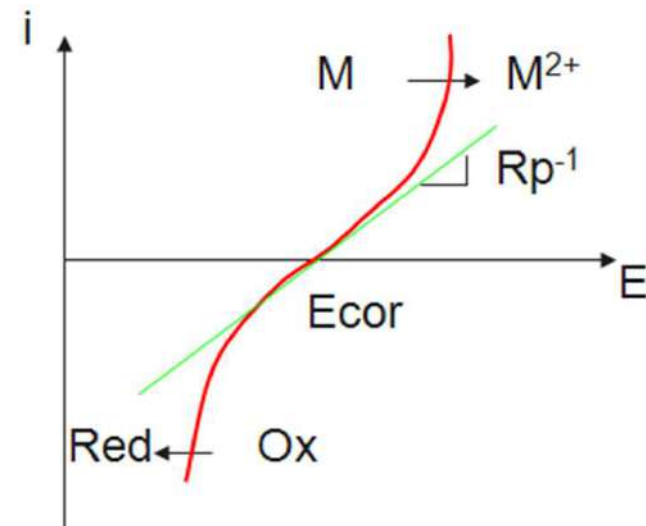
[15]

R_p is an indicator of the corrosion rate

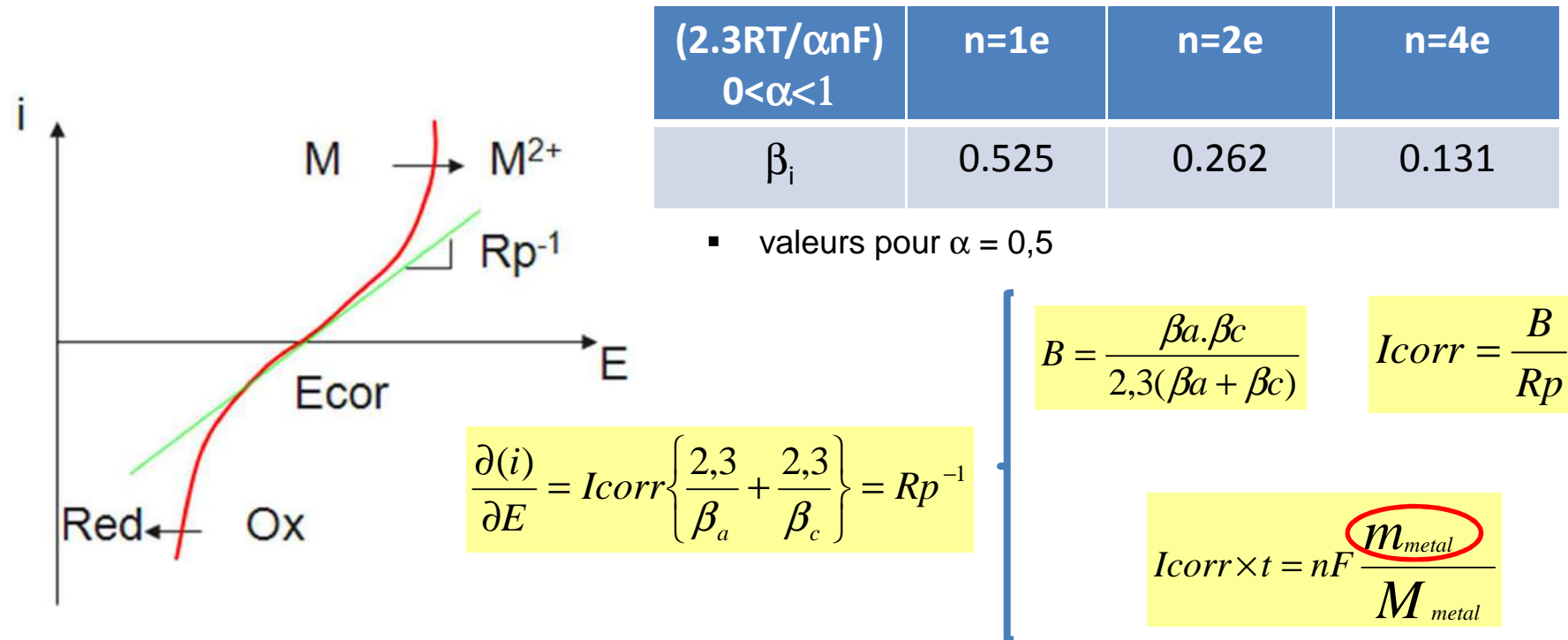
➤ Evaluation of the metal recession ⇔ Corrosion rate



$$\frac{\partial(i)}{\partial E} = I_{corr} \left\{ \frac{2,3}{\beta_a} + \frac{2,3}{\beta_c} \right\} = R_p^{-1}$$



➤ Corrosion rate deduced from the electrochemical tests: R_p



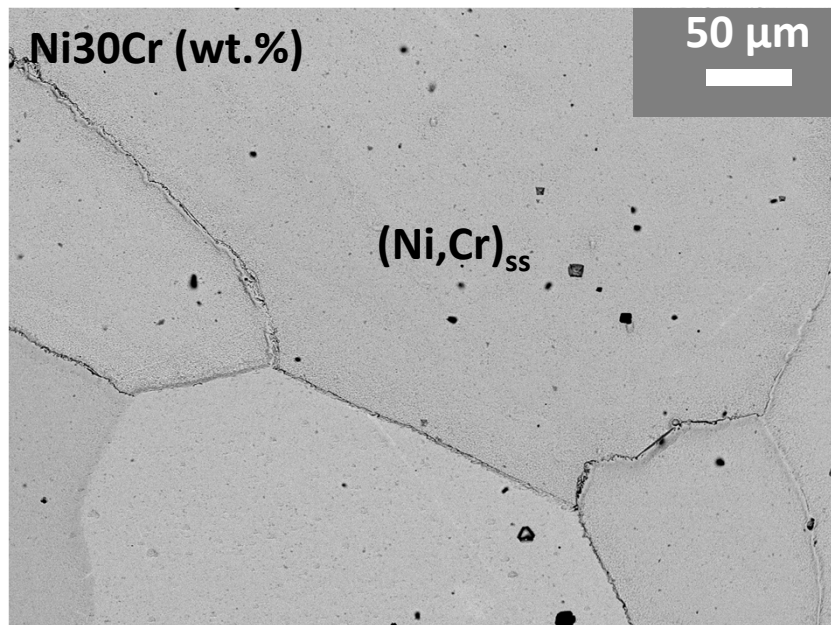
Approximation sur la valeur de β_i car les variations du courant en fonction du potentiel ne suivent pas une loi de « Tafel » dans les conditions d'étude

=> Les vitesses de corrosion ne représentent qu'un ordre de grandeur

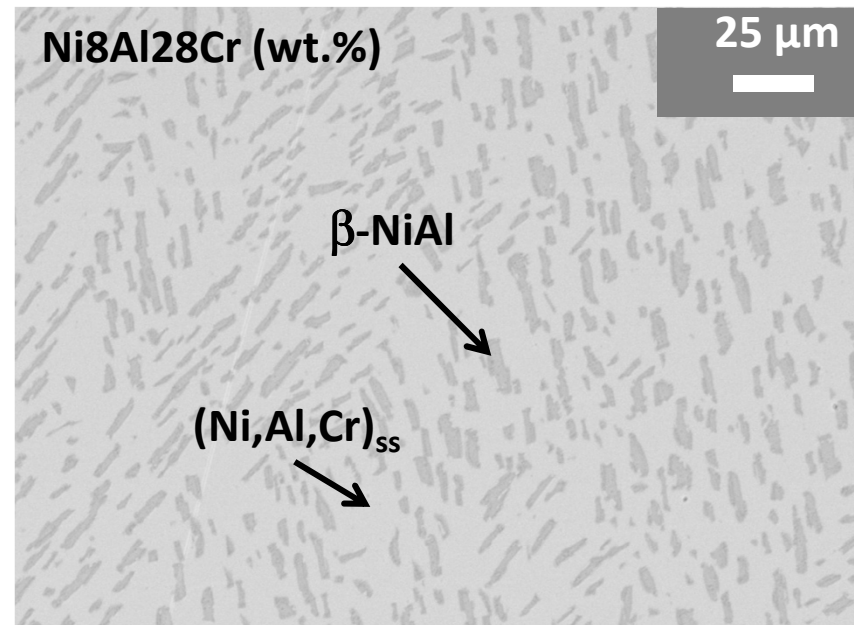
➤ Corrosion of alloys by molten glass

Alloys preparation

- Induction heating in high frequency furnace



[7]

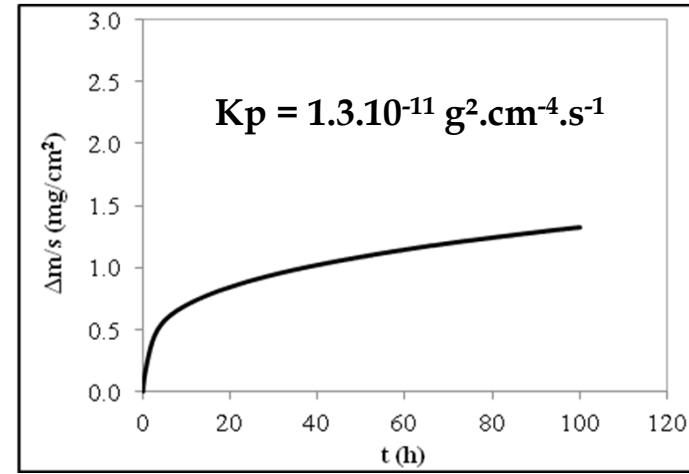
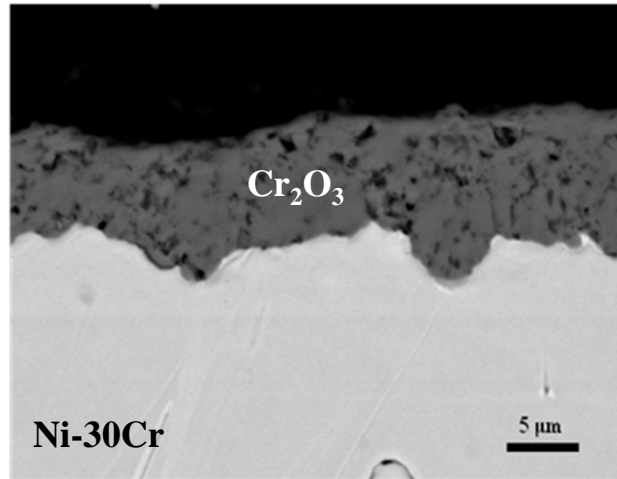


[7]

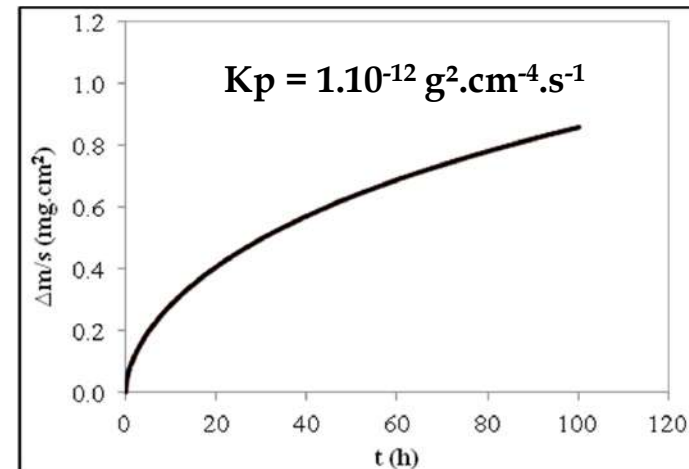
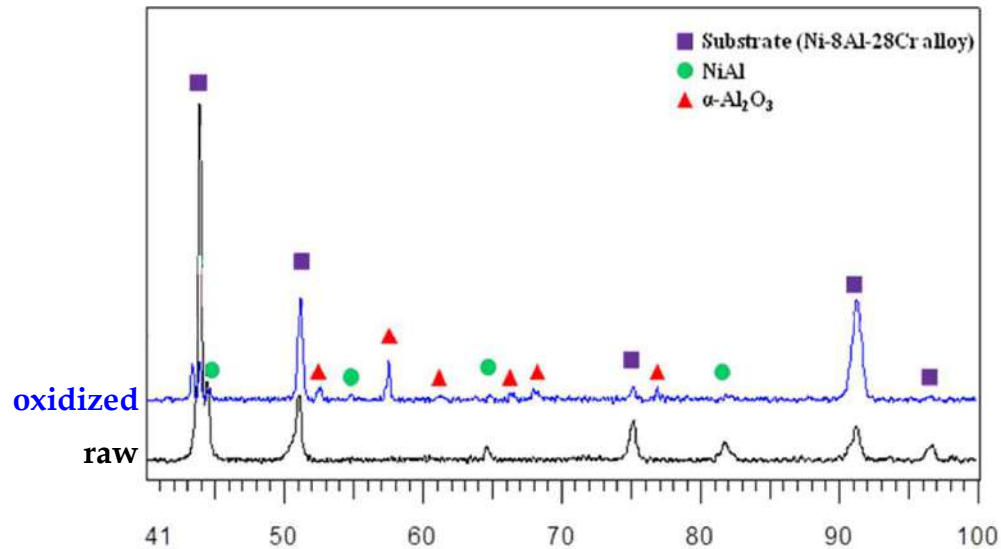
➤ Corrosion of alloys by molten glass [7]

Hot air oxidation of the alloys at 1100°C (100 h)

Ni30Cr



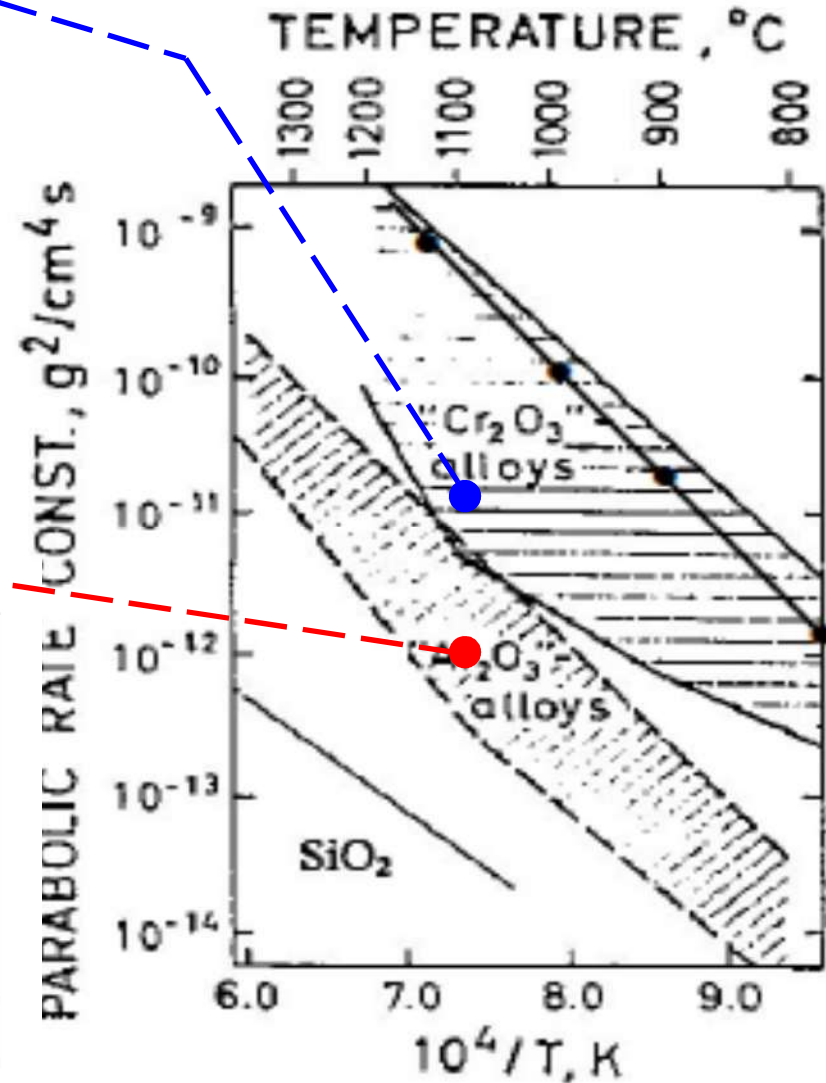
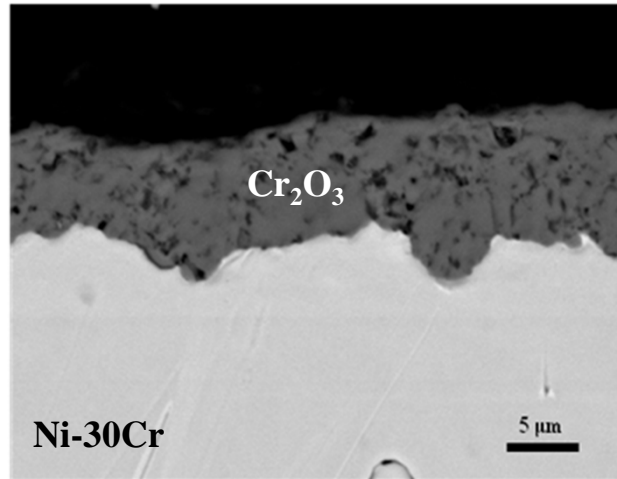
Ni8Al28Cr



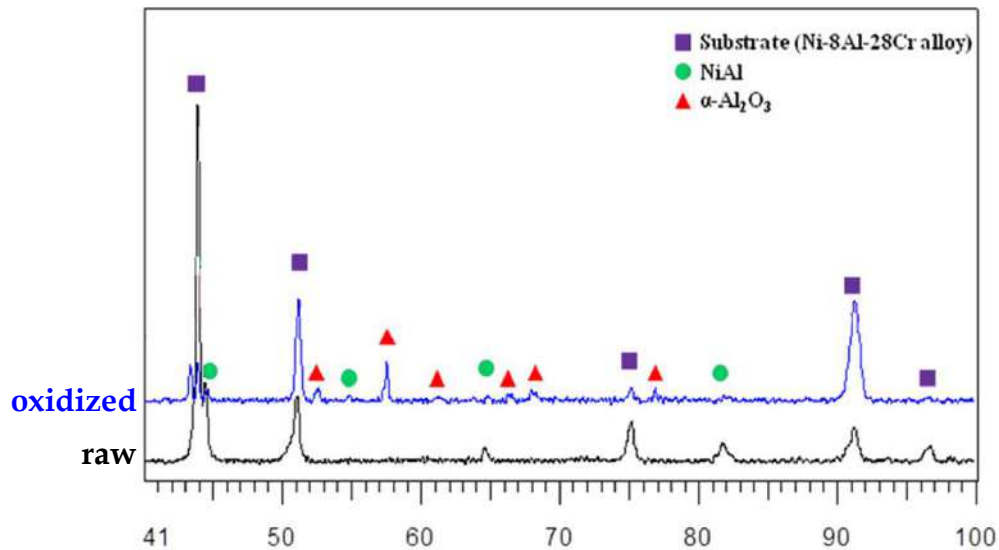
➤ Corrosion of alloys by molten glass [7]

Hot air oxidation of the alloys at 1100°C (100 h)

Ni30Cr

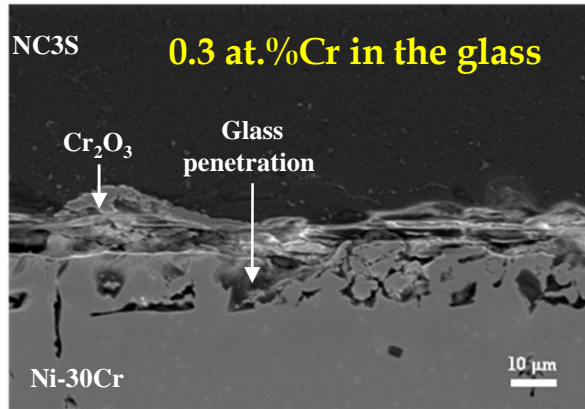


Ni8Al28Cr

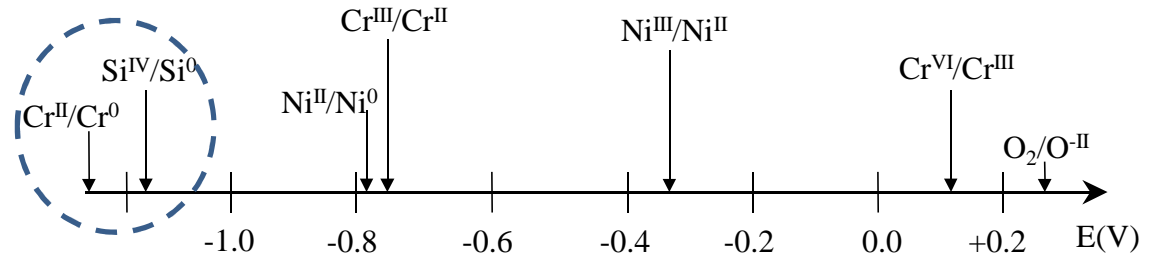


Corrosion of Ni₃₀Cr by molten glass [7]

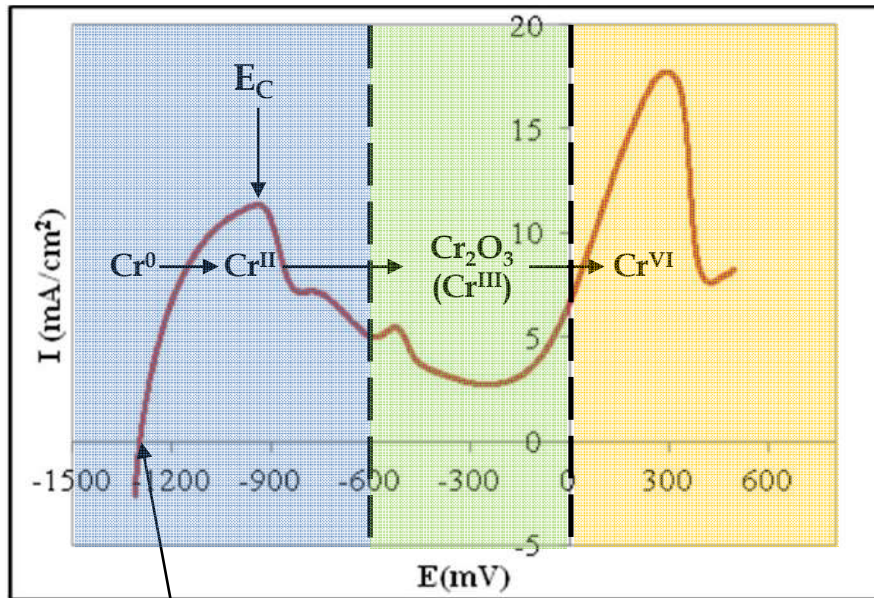
Raw immersion in molten NC3S (1100°C/ 24 h)



CORROSION !

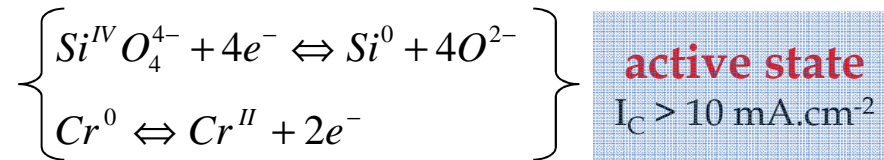


Electrochemical measurements (1100°C)



$E_{\text{corr}} \sim -1300 \text{ mV}$

$R_p \sim 9 \Omega \cdot \text{cm}^2$

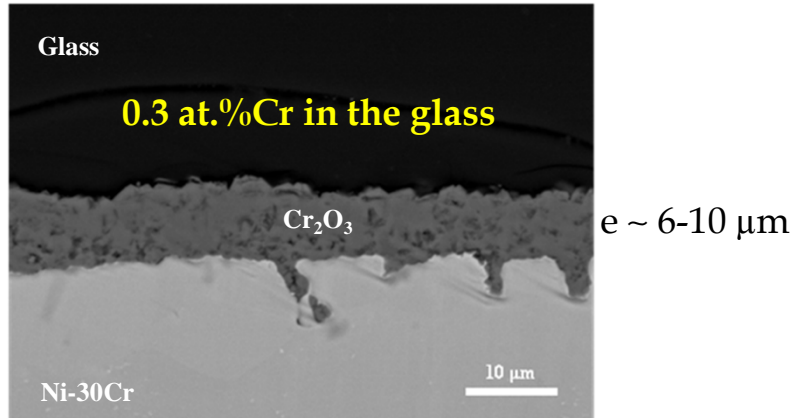


**Passivation by preoxidation
heat treatment ?**

Corrosion of Ni₃₀Cr by molten glass [7]

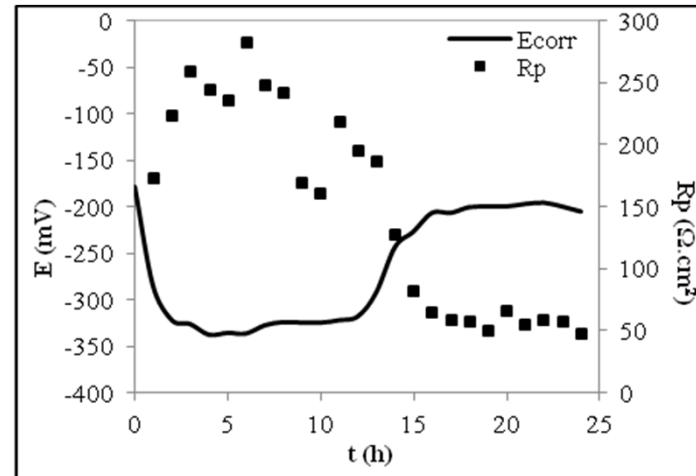
TGA analysis → preoxidation at 1100°C/2h ~ **5 μm thick Cr₂O₃ layer**

Raw immersion in molten NC3S (1100°C/24 h)



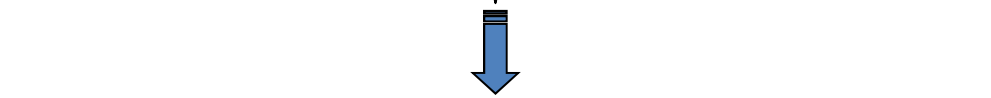
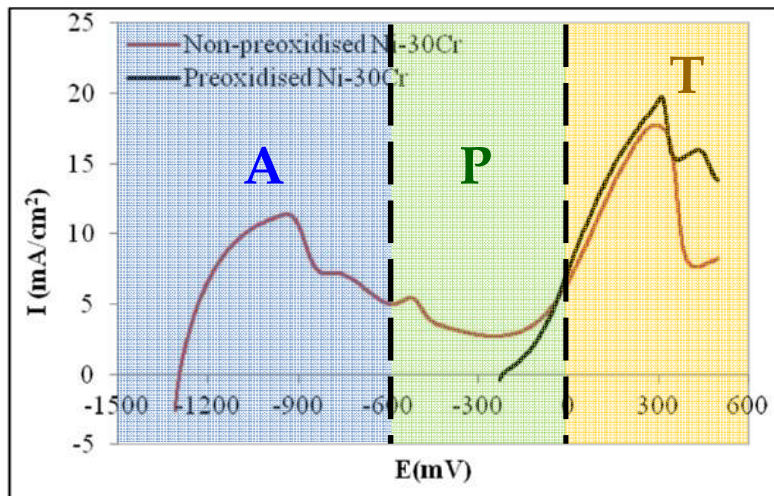
PROTECTION

E_{corr} and R_p measurements (24 h)

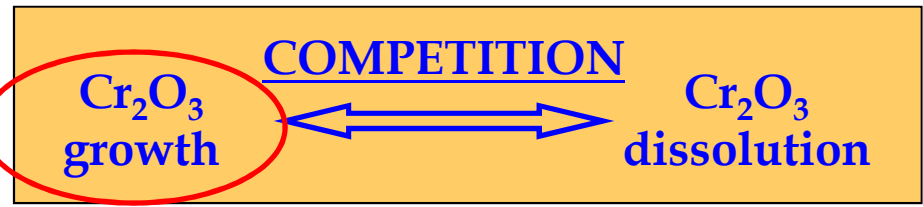


$60 \Omega.cm^2 < R_p < 250 \Omega.cm^2$ $-320 mV < E_{corr} < -200 mV$

Linear polarization after 24 h in NC3S



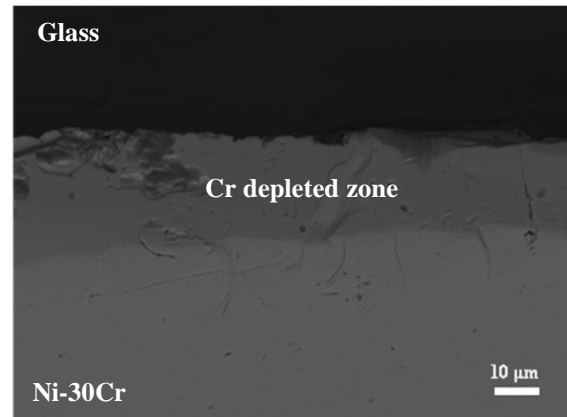
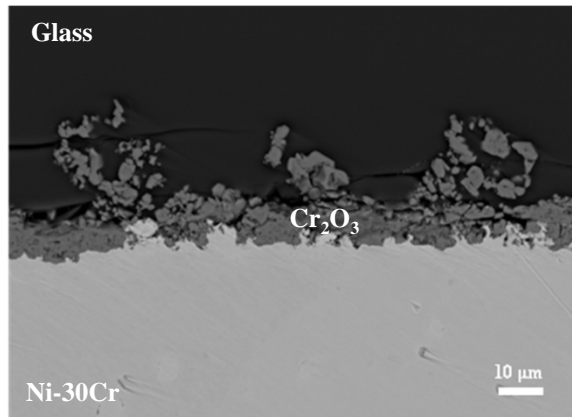
PASSIVE STATE



Corrosion of Ni₃₀Cr by molten glass [7]

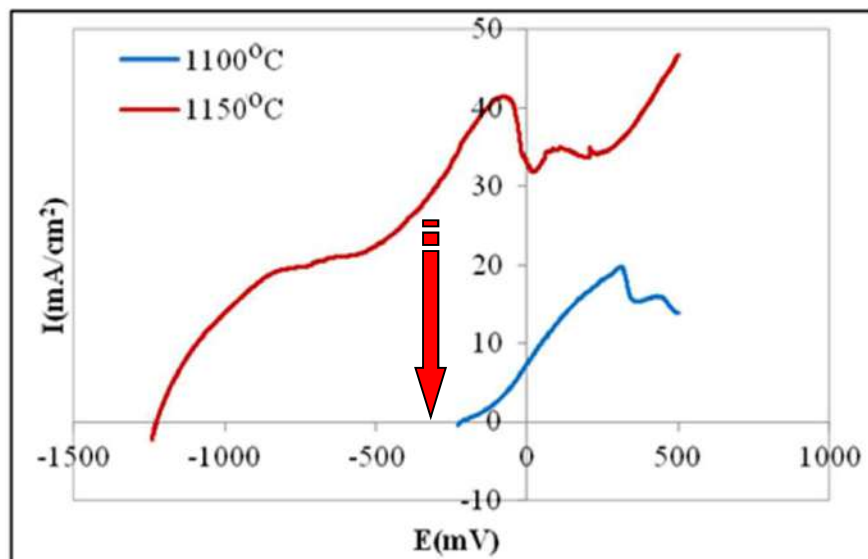
Influence of the temperature → immersion at **1150°C**
After 2 hours of preoxidation

Raw immersion in molten NC3S (1150°C/24 h)



→ **CORROSION!**

Linear polarization after 24 h in NC3S



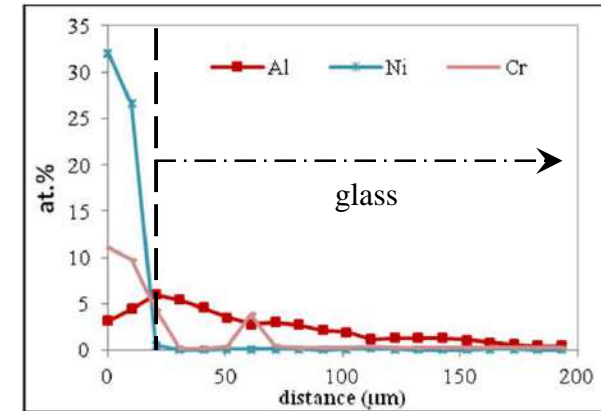
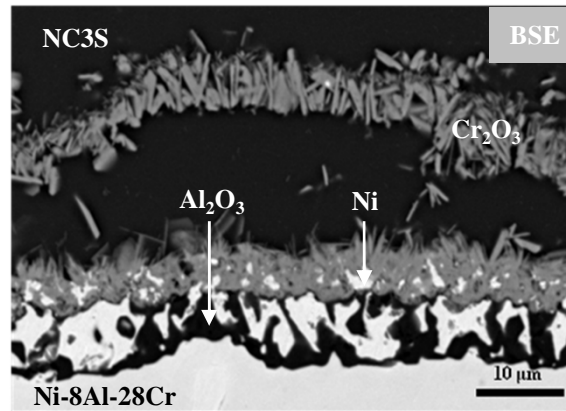
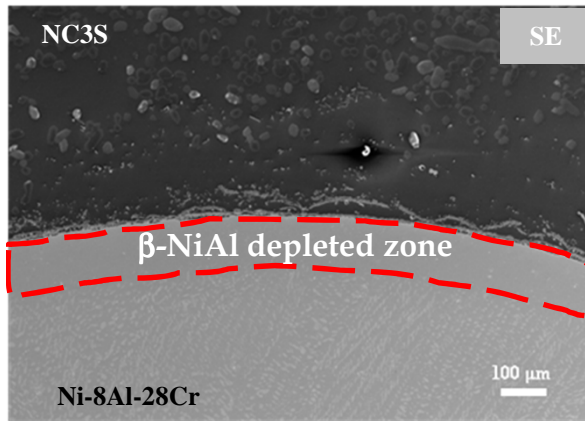
→ **Impossible to obtain passivation at 1150°C** ←



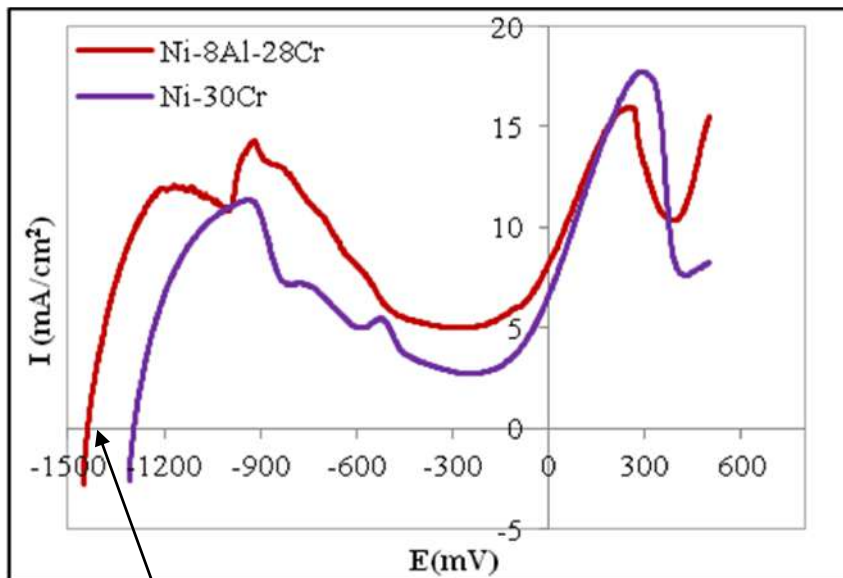
In NC3S, $1100^{\circ}\text{C} < T_{\text{depassivation}} < 1150^{\circ}\text{C}$

Corrosion of Ni8Al28Cr by molten glass [7]

Raw immersion in molten NC3S (1100°C/24 h)



Linear polarization after 24 h in NC3S

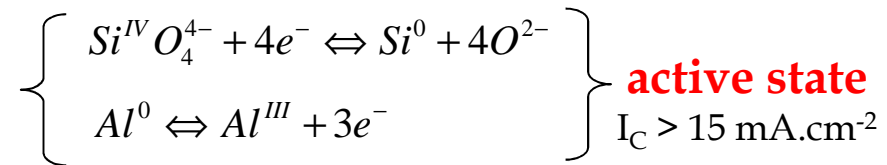


$E_{\text{corr}} \sim -1500 \text{ mV}$
 $R_p \sim 9 \Omega \cdot \text{cm}^2$

Limit of solubility in soda lime silicates at 1300°C (at.%)⁽¹⁾

| Cr | Al |
|-----|------|
| 0.6 | 21.3 |

⁽¹⁾ L.J. Manfredi *et al.*, J. Am. Ceram. Soc. 67, 155-157 (1984)



Ni8Al28Cr:

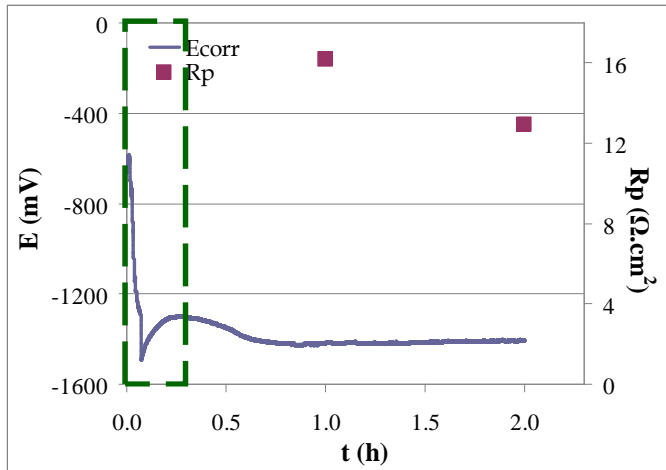
- higher critical current density
- higher current density on the passivation plateau

➡ **Protection by Al₂O₃ scale?**

Corrosion of Ni8Al28Cr by molten glass [7]

TGA analysis → preoxidation at 1100°C/24h ~ 2 μm thick Al₂O₃ layer

E_{corr} and R_p measurements (2 h)



➤ t = 0 ; E_{corr} ~ -550 mV

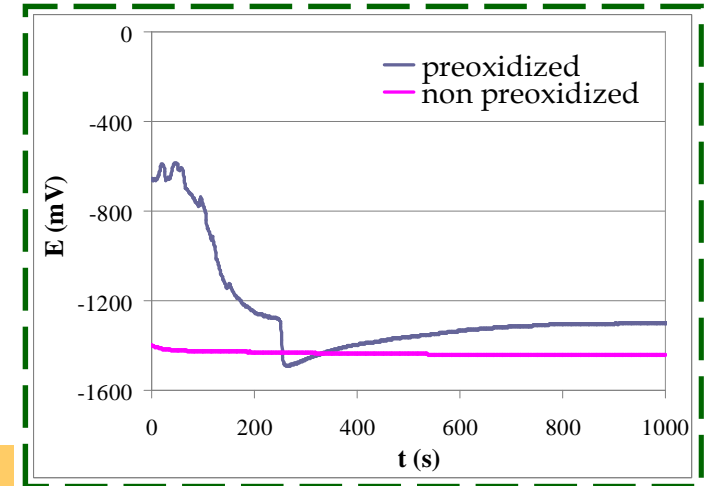
→ passive state

➤ t = 5 min ; E_{corr} ~ -1.3 V

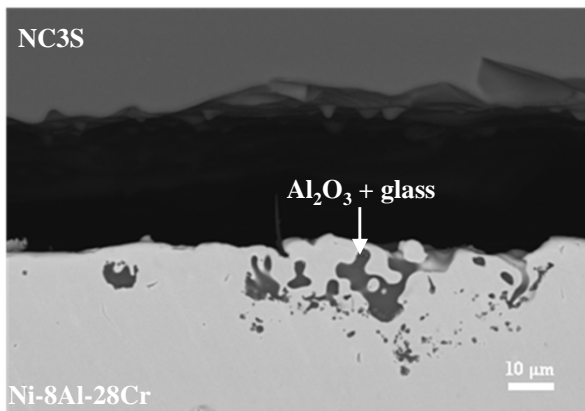
→ active state



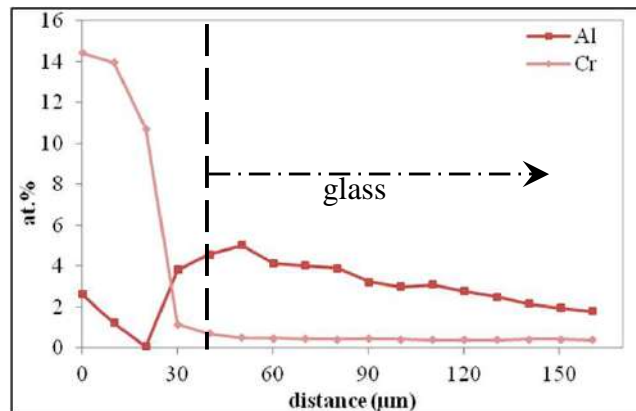
Dissolution of the Al₂O₃ layer in NC3S in 5 min !



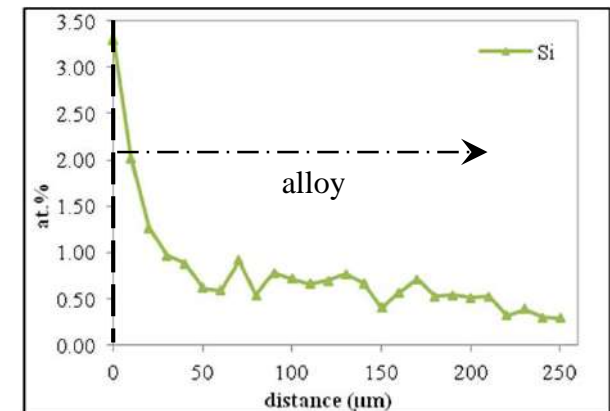
Raw immersion in molten NC3S (1100°C/24 h)



No protective scale



High dissolution of Al in NC3S



Presence of Si in the alloy

➤ Compositions des alliages et microstructures adaptées [14]

| Alliage | Ni | Cr | Al | Fe | Ti | Y ₂ O ₃ |
|---------------|------|------|-----|------|-----|-------------------------------|
| INCO 601 | 60 | 22,5 | 1,3 | 16,8 | 0,2 | / |
| INCO 690 | 58,5 | 30 | 1,1 | 9,5 | 0,2 | / |
| Nicrofer 6025 | 63,6 | 25,4 | 1,9 | 9,1 | / | / |
| MA 758 | 67 | 30 | 0,3 | 1 | 0,5 | 0,6 |

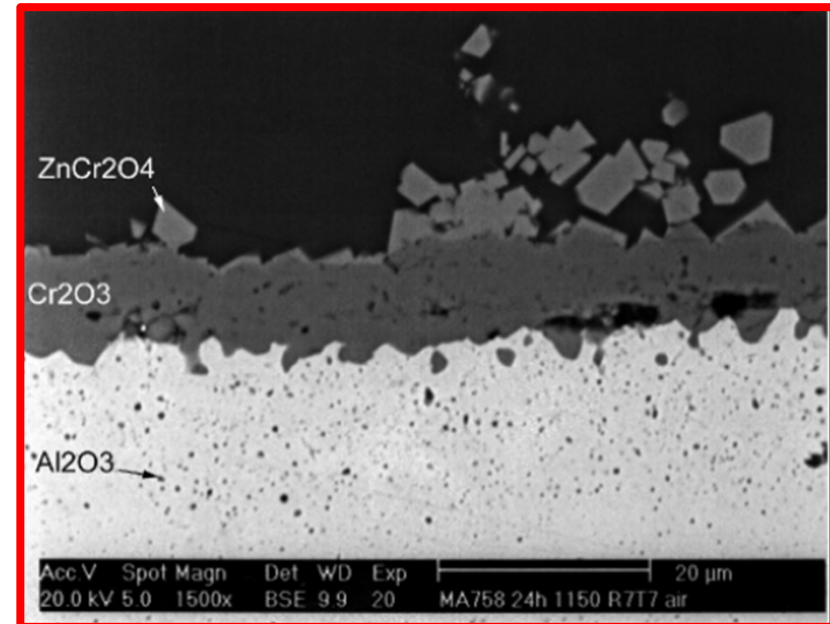
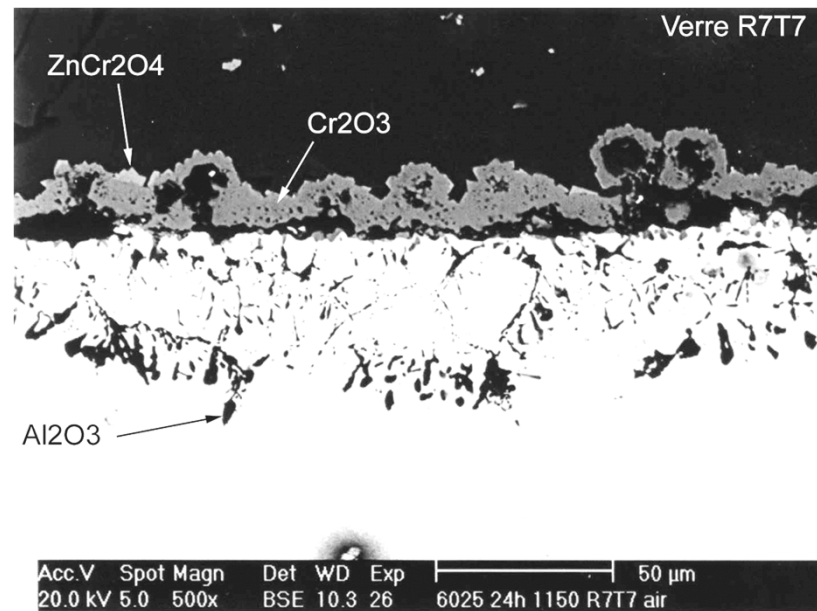
Tableau 1 : Composition des alliages base nickel étudiés (% massique).

Alliage ODS MA758:

Composition optimisée : **+ de Cr et retrait de Al**

Microstructure optimisée : gros grains au lieu de petits grains => **moins de joints de grains**

Dispersoïdes Y₂O₃ : **durcissement et puits de lacunes**



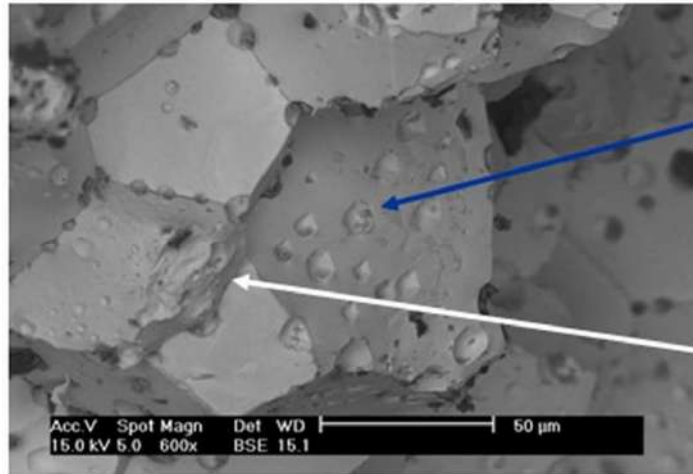
3 cases of corrosion showing the effect of:

- oxygen fugacity**
- basicity of melt**
- temperature**

➤ Effect of $f(\text{O}_2)$

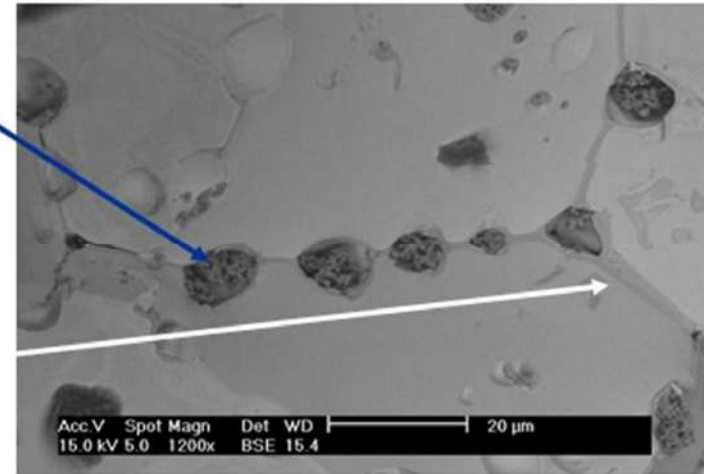
1st example: Use of Pt in a Te-bearing glass under argon atmosphere

➤ Eutectic formation PtTe_x ($T_f = 830^\circ\text{C}$)



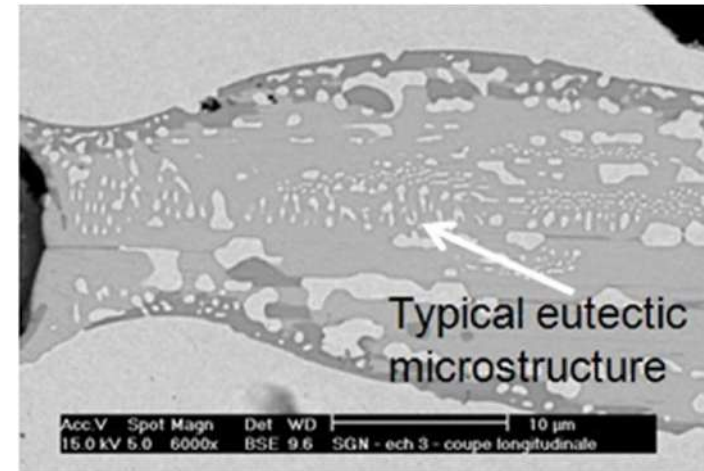
Y₂O₃

PtTe_x



➤ Destruction of Pt-based material

W. C. Heraeus GmbH & Co. KG

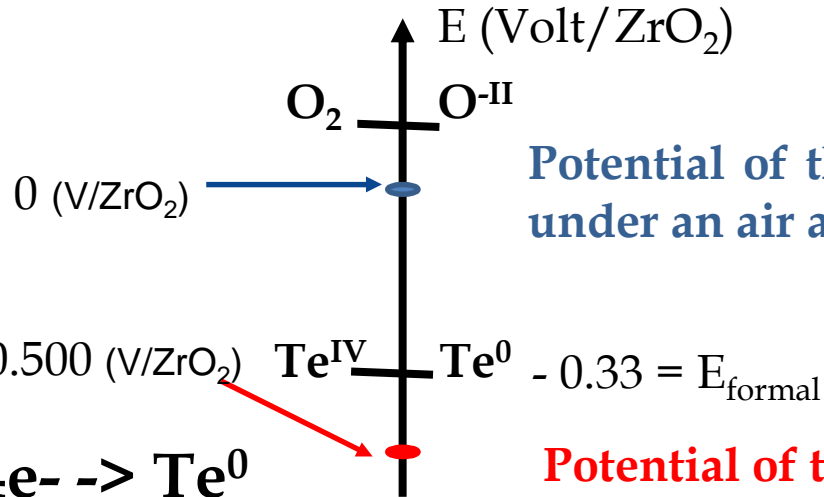
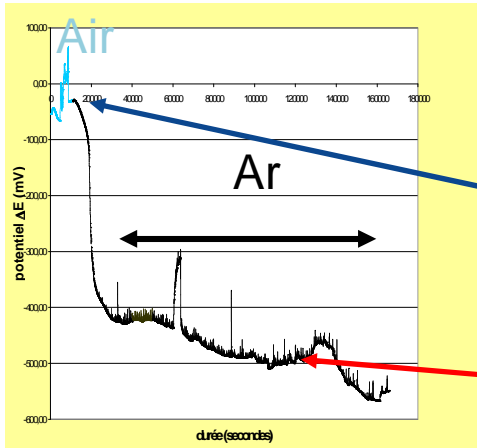


Typical eutectic microstructure

➤ Effect of $f(\text{O}_2)$

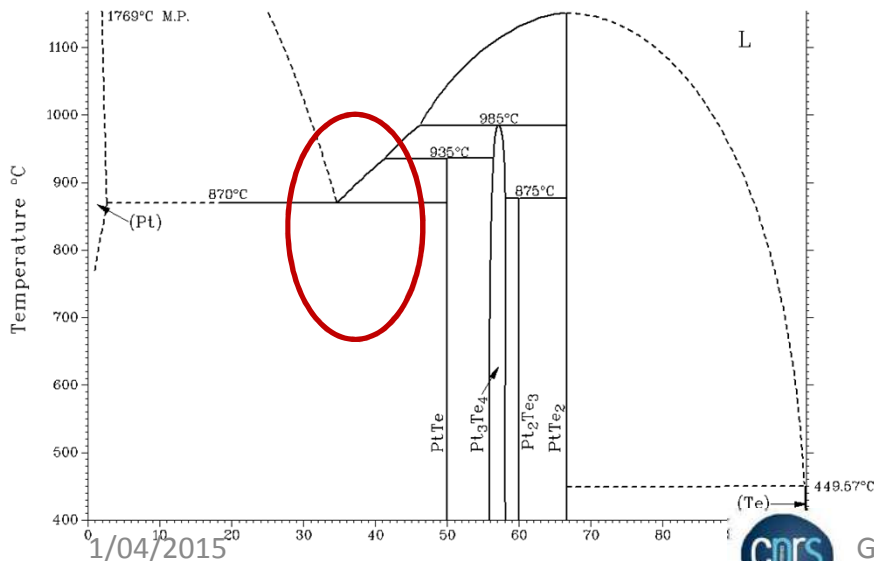
1st example: Use of Pt in a Te-bearing glass under argon atmosphere

✓ Evolution of the glass potential



Potential of the glass equilibrated under an air atmosphere

Potential of the glass equilibrated under an argon atmosphere



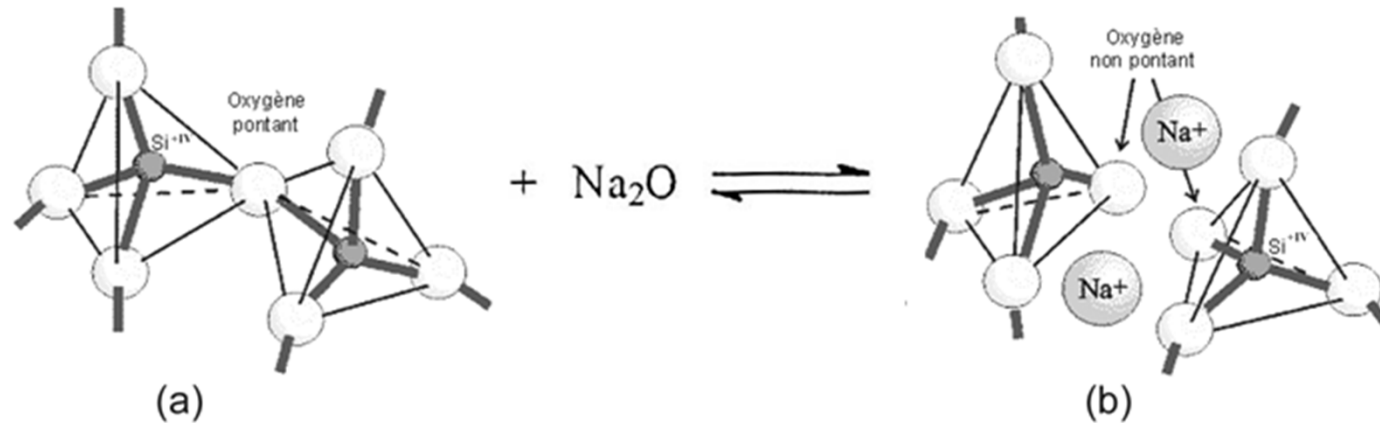
Reaction of Pt with Te nodules

Formation of eutectic with low melting temperature (Pt-PtTe at 870°C)



➤ Effect of Basicity

Definition of the glass basicity ?



✓ Considering corrosion mechanism, the acido-basic dissolution of oxide is due to an exchange of " O^{2-} " ion.

⇒ **The basicity concept of Lux-Flood is pertinent to describe this process (fluxing).**

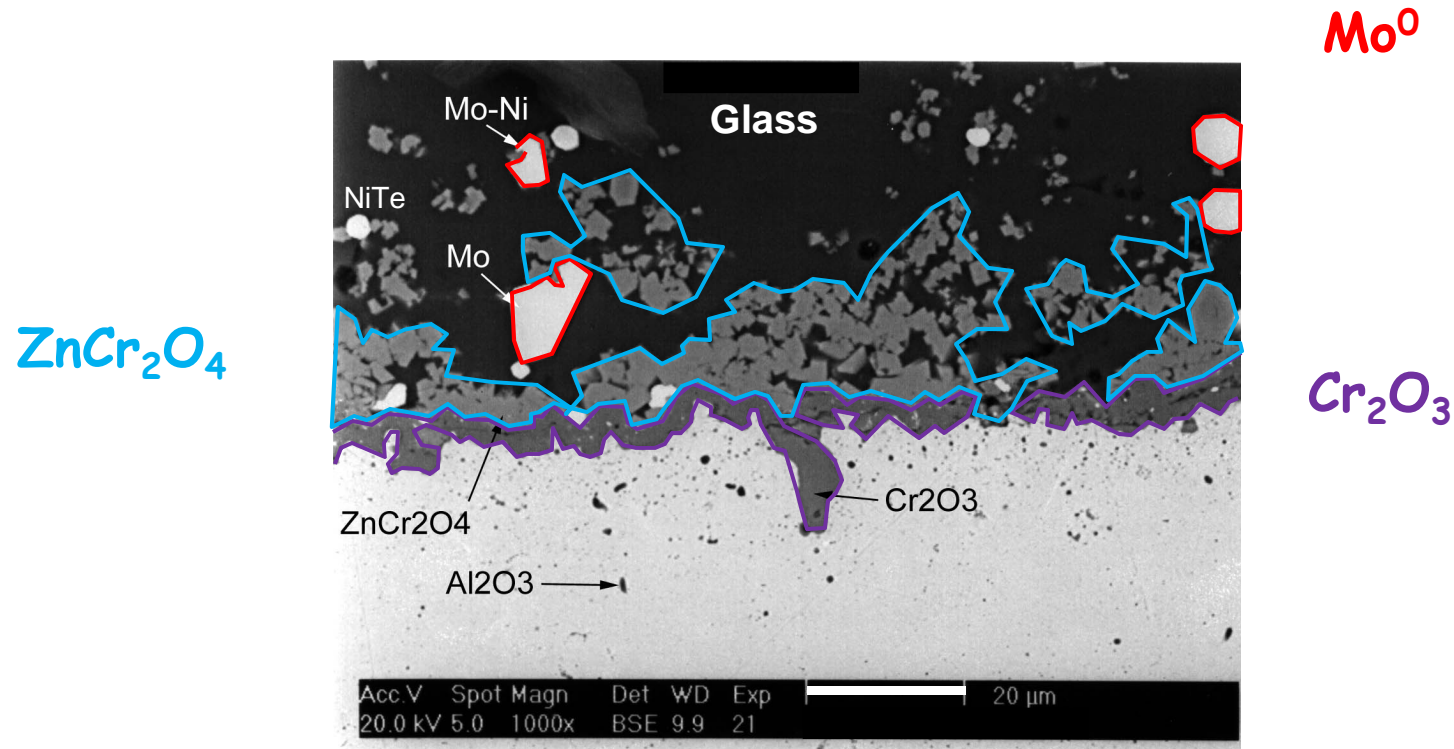
✓ The nature and the concentration of network modifier oxides (CaO , Li_2O , Na_2O , K_2O , ...) is the main parameter to control

➤ Effect of Basicity

2nd example: Ni alloy tested in a Mo +Zn bearing glass

Test under argon atmosphere [14]

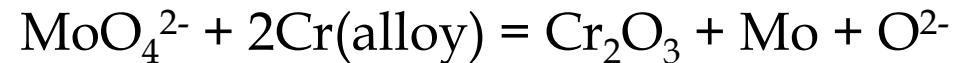
- ✓ Potential stabilized at $-900\text{mV}/E_{\text{ZrO}_2}$
- ✓ Reduction of Mo^{VI} to Mo^{III} and Mo^0
- ✓ Formation of a discontinuous Cr_2O_3 layer and of numerous ZnCr_2O_4 crystals



➤ Effect of Basicity

2nd example: Ni alloy tested in a Mo +Zn bearing glass

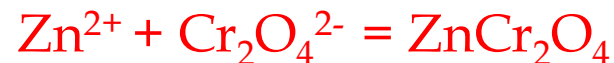
→ Local increase of O²⁻ activity during Mo^{VI} reduction:



→ The O²⁻ ion liberation promotes the dissolution of chromia by basic fluxing



→ The interaction with zinc produces spinel

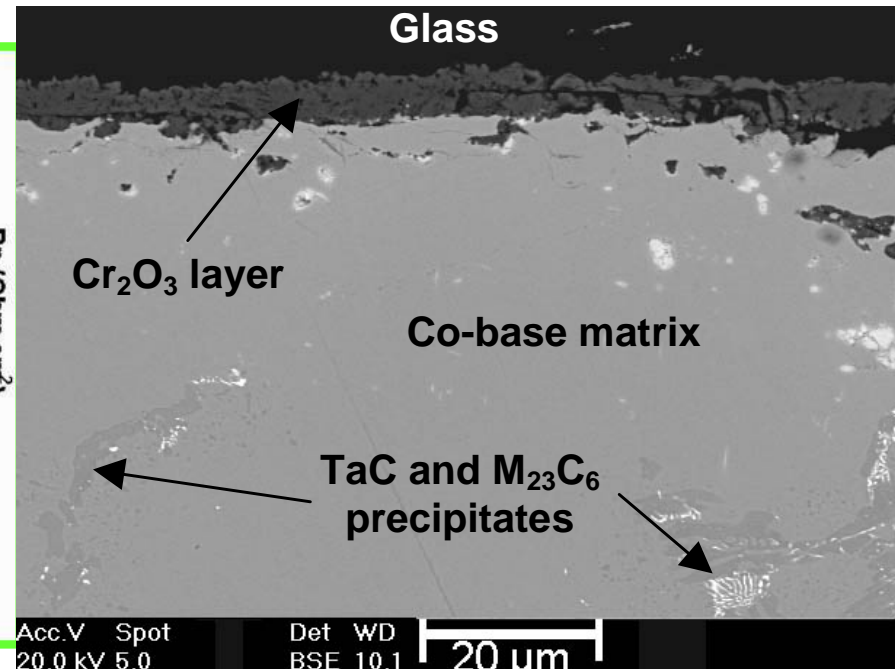
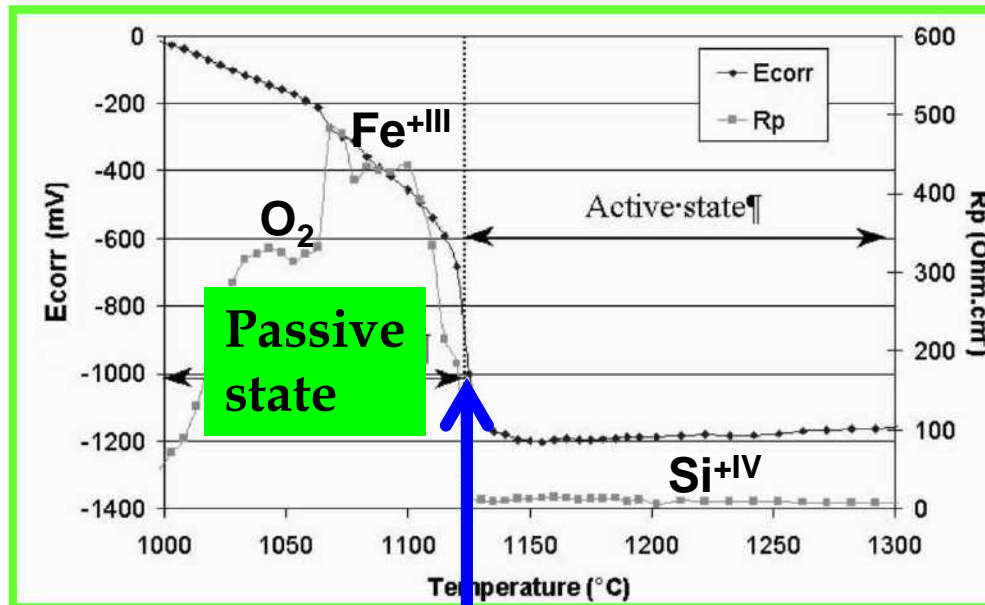


➤ Effect of Temperature

Pre-oxydation in air : new protective method

Use of Co-based alloys is possible at T=1000°C

- ✓ Chromia is highly electrically resistant (100H at 500-800Ω.cm²)
- ✓ Chromia has a quite high E_{corr} (-350mV / E_{ZrO₂})



[15]

Control of electrochemical potential => Depassivation temperature

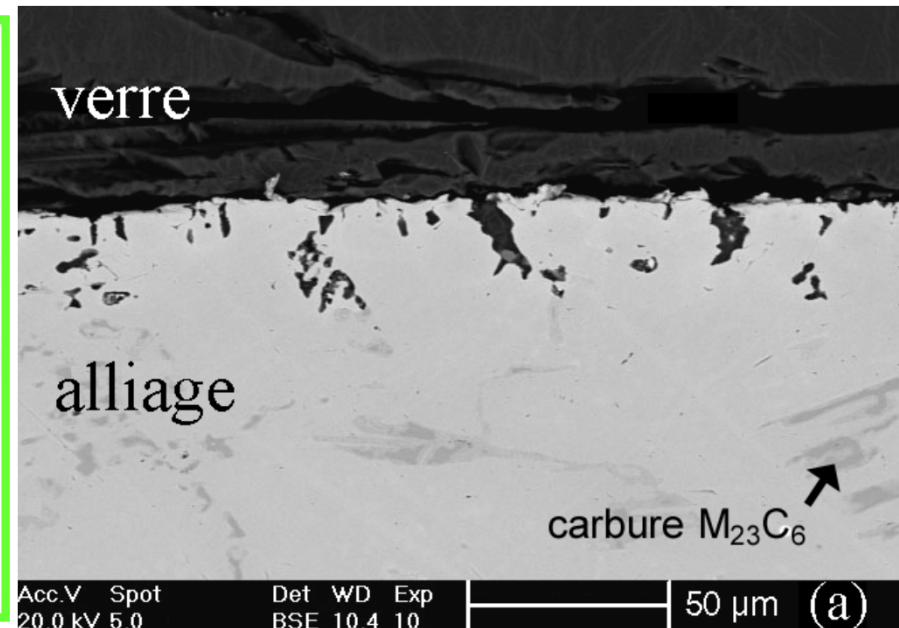
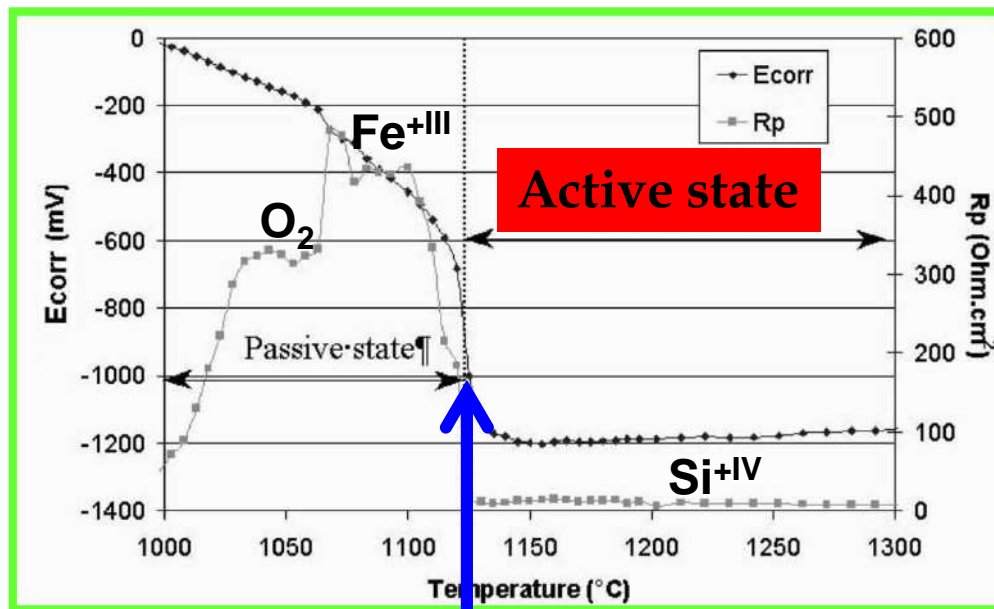
[15]

➤ Effect of Temperature

Pre-oxydation in air : new protective method

Use of Co-based alloys is possible at T=1000°C

- ✓ Chromia is highly electrically resistant (100H at 500-800Ω.cm²)
- ✓ Chromia has a quite high E_{corr} (-350mV / E_{ZrO₂})



[15]

Control of electrochemical potential => Depassivation temperature

Conclusion

- ✓ The reported corrosion cases illustrate the ability of molten glass to corrode metallic materials devoted to high temperature glass contact in specific conditions.
- ✓ The choice of materials must be done taking into account :
 - the glass composition
 - the temperature of use
 - the atmosphere in contact with the glass.
- ✓ The determination of the corrosion mechanisms is often difficult. Its prediction needs the good knowledge of the physico-chemistry of the silicate melt.

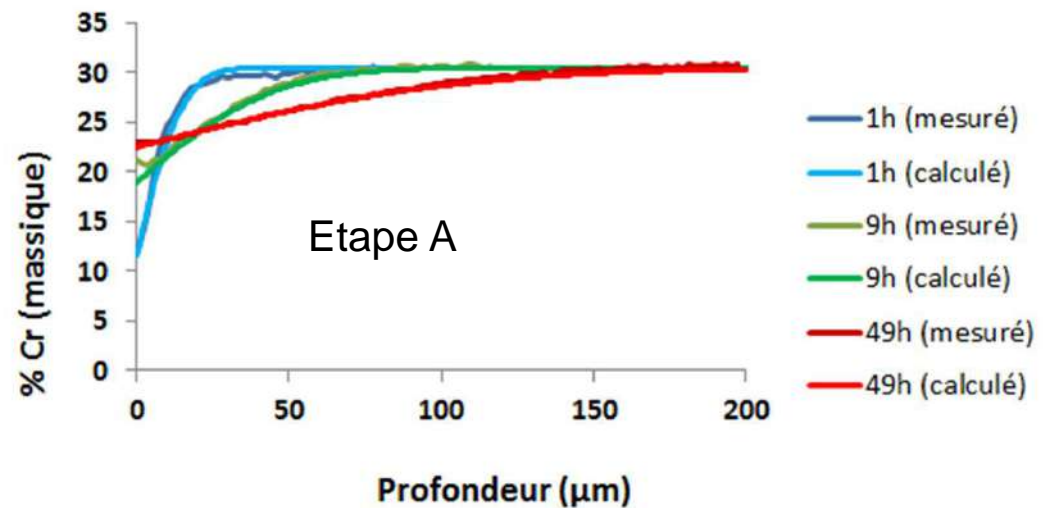
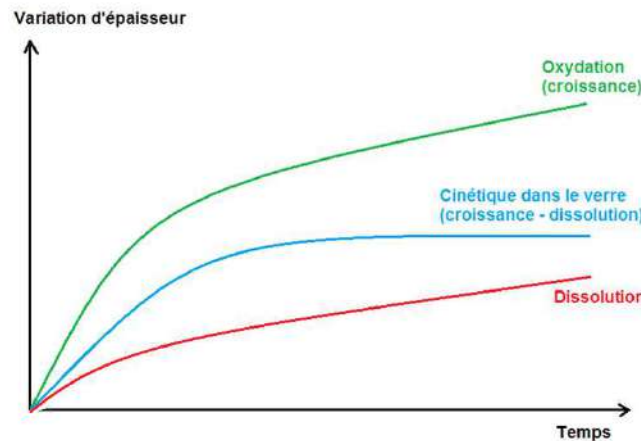
=> The use of electrochemical techniques is particularly relevant for characterizing:

- (i) the oxidative attack of metallic alloys
- (ii) the protectiveness of passive layers
- (iii) the parameters of protection treatments (*depassivation temperature, pre-oxidation in air*)

✓ The formation and the stability of Cr_2O_3 is the key factor of the good resistance of metallic alloy used in molten glass. The knowledge of chromia physico-chemistry in molten glasses is needed and must be improved concerning *ionic conductivity of Cr_2O_3 as passive layer,...*

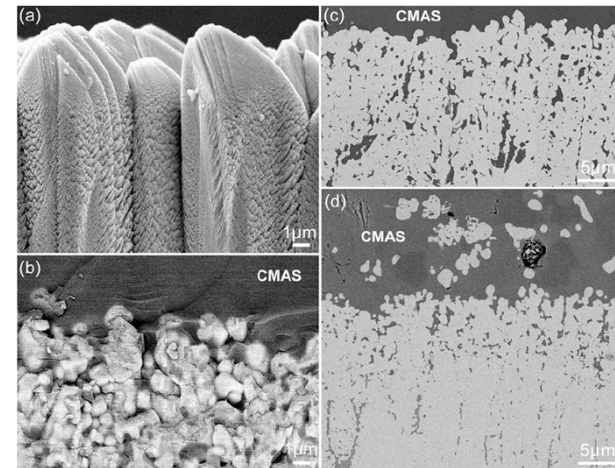
Outlooks

- ✓ Thèse CIFRE : Eric Schmucker – AREVA-CEA (Saclay et Marcoule)
Modélisation de la cinétique de formation et dissolution de la chromine en milieu « Vitrification R7T7 » => Prédiction de la durée de Vie



Etape A : Oxydation dans l'atmosphère gazeuse modélisée => préoxydation

✓ In progress (ANR CINATRA), the corrosion study of the aircraft Thermal Barrier Coatings (TBC) by molten CMAS glass ($\text{CaO-MgO-Al}_2\text{O}_3\text{-SiO}_2$) at 1200°C will be performed



Catlos Levi et al.

Materials Department, University of California, Santa Barbara (USA)

The impact of CMAS basicity on the oxides constituting TBC (ZrO_2 , Y_2O_3 , Gd_2O_3 , Nd_2O_3 ,...) will be the determining parameter.

**Merci
pour votre attention**

➤ Bibliographie Ciblée

✓ Articles de revues

1. LIZARAZU (D.), STEINMETZ (P.) et BERNARD (J.L.). – Corrosion of nickel-chromium alloys by molten glass at 1 100 oC : an electrochemical study. *Mater. Sci. Forum*, 251-254, p. 709- 720 (1997).
2. D. MONCEAU, B. PIERAGGI - Determination of parabolic rate constants from local analysis of mass gain curves. *Oxid. Met.*, 50, p. 477-493 (1998).
3. L. ANTONI, A. GALERIE – Les techniques de l'ingénieur corrosion sèche des métaux, Réf. M4220, M4221, M4227, M4228
4. S. ABDELOUHAB, C. RAPIN, R. PODOR, BERTHOD, P., M. VILASI - *Journal of Electrochemical Society* 154 (9) (2007) C500-C507
5. H. KHEDIM, T. KATRINA, R. PODOR, P. J. PANTEIX, C. RAPIN, M. VILASI - Solubility of chromium oxide in soda lime silicate melts, *Journal of the American Ceramic Society* 93 (2010) 1347–1354
6. H. KHEDIM, R. PODOR, P. J. PANTEIX, C. RAPIN, M. VILASI - Solubility of chromium oxide in soda silicate melts, *Journal of Non-Crystalline Solids* (2010)
7. T.K. ABDULLAH, C. PETITJEAN, P.J. PANTEIX, C. RAPIN, M. VILASI, Z. HUSSAIN, A.A. RAHIM - Stability of protective oxide layer against corrosion: solubility measurements of chromium in soda lime silicate melts, *Oxidation of Metals*, 80: 611-622 (2012)
- 7'. http://inpect.inptoulouse.fr/ARCHIVES/PlastOx2007/planches_courts/01_Monceau_Oxydation.pdf

➤ Bibliographie Ciblée

✓ Manuels de référence

8. SARRAZIN (P.), GALERIE (A.) et FOULETIER (J.). – *Les mécanismes de la corrosion sèche. Monographies de matérialogie, no 5. EDP Sciences, Les Ulis, France, 334 p. (2000).*

9. HUNTZ-AUBRIOT (A.M.), PIERAGGI – *Oxydation des matériaux métalliques*, Hermes, Lavoisier, France, (2003)

10. KOFSTAD (P.). – *High temperature corrosion. Elsevier Applied Science Publ., Barking, UK, 558 p. (1988).*

11. BIRKS (N.) et MEIER (G.H.). – *Introduction to high temperature oxidation of metals. Edward Arnold Publ., Londres, UK, 198 p. (1983).*

12. PHILIBERT (J.). – *Diffusion et transport de matière dans les solides. Les Éditions de Physique, les Ulis, France (1990).*

✓ Thèses de l'Université de Nancy

13. These D. Lizarazu (1997), 14. B. Gaillard Allemand (2001) ; 15. J. Di Martino (2002), 16. S. Abdelouhab (2005) ; 17. H. Kehdim (2008), 18. T.K. Abdullah (2013)

✓ Colloque International de référence

High temperature corrosion and protection of materials ; se tiendra du 23-29 Mai 2016 Embiez (Var).

✓ Société savante : CEFRACOR

Optical basicity

Duffy and Ingram have constructed a scale (Table I-3) for the optical basicity of the oxides based on the position of absorption spectrum of the $s \rightarrow p$ electronic transition of the reference cation (Pb^{2+} , Bi^{3+}) introduced in small amount in the probes.

The frequency of the absorption band is dramatically lowered by an increase of the ability of oxygen to donate negative charge. This latter is at maximum when it exists as the "free" O^{2-} " => allow characterizing the basicity of the glass

Table I-3: Optical basicity of oxides determined by Duffy and Ingram⁴⁵

| Oxides | B ₂ O ₃ | SiO ₂ | Al ₂ O ₃ | MgO | CaO | Li ₂ O | BaO | Na ₂ O | K ₂ O |
|-------------------|-------------------------------|------------------|--------------------------------|------|------|-------------------|------|-------------------|------------------|
| Λ_{oxide} | 0.42 | 0.48 | 0.60 | 0.78 | 1.00 | 1.00 | 1.15 | 1.15 | 1.40 |

$$\Lambda = X_A \times \Lambda_A + X_B \times \Lambda_B + \dots$$

Effect is due to orbital expansion of the probe ions while receiving the electron donation by the oxygen with high electron donor power.